

取上番号	図面番号	種	遺構内	自然要素	種別	器種名	材質	法量長	法量幅	法量厚	重量	備考	X座標	Y座標	Z座標
52	7	土器		隆帶文土器突唇部	-						132と接合	-193158.947	-38155.434	127.430	
53	7	レキ		不定形塊片	スコリア	42.4	37.9	30.4	22.76		-193158.897	-38155.057	127.417		
54	7	土器		隆帶文土器突唇部	-						-193158.883	-38154.758	127.427		
55	7	レキ		不定形塊	スコリア	46.0	26.6	17.0	13	受熱	-193158.801	-38154.437	127.399		
56	7	レキ		不定形塊	スコリア	81.0	71.9	37.2	150	受熱	-193158.986	-38154.496	127.376		
57	7	レキ		不定形塊	凝灰岩	94.7	67	36.2	190	受熱	-193159.473	-38154.689	127.343		
58	7	レキ		不定形塊	スコリア	87.4	63.3	31.1	85		-193159.698	-38154.608	127.298		
59	7	レキ		不定形塊	スコリア	43.9	33.1	30.7	24.57	受熱	-193158.566	-38154.481	127.303		
60	7	レキ		不定形塊片	凝灰岩	66.7	40.3	34.4	80	受熱	-193159.853	-38154.653	127.269		
61	7	レキ		不定形塊	スコリア	44.6	39.2	43.6	40		-193159.499	-38154.406	127.294		
62	7	土器		隆帶文土器突唇部	-						-193159.382	-38155.126	127.336		
63	7	レキ		不定形塊	スコリア	30.9	17.5	10.0	3.11	受熱	-193159.000	-38154.438	127.359		
64	7	レキ		不定形塊	安山岩	23.6	26.1	13.6	8.46		-193159.258	-38154.252	127.312		
65	7	レキ		不定形塊	スコリア	17.1	13.0	9.7	900	受熱	-193159.918	-38154.219	127.332		
66	7	レキ		不定形塊	凝灰岩	109.1	76.5	24.4	150		-193158.276	-38153.827	127.371		
67	7	石器		剥片	黒曜石	14.3	18.9	6.0	172	分割剥片	-193158.599	-38153.729	127.365		
68	7	レキ		不定形塊	凝灰岩	46.8	35.1	18.8	27.43	受熱	-193159.081	-38153.560	127.357		
69	7	石器		剥片	黒曜石	11.3	19.2	8.5	138		-193158.567	-38153.183	127.394		
70	7	レキ		不定形塊	スコリア	120.4	89.8	44.8	289	受熱	-193158.517	-38152.970	127.440		
71	7	レキ		不定形塊	スコリア	107.1	95.3	48.2	269	受熱	-193158.732	-38152.986	127.354		
72	18	7	石器	石盤	頁岩	20.0	18.0	2.0	0.66	未製品	-193158.425	-38152.831	127.312		
73	7	石器	石核	メノウ		19.5	20.1	19.3	9.82		-193159.801	-38153.346	127.269		
74	7	石器		分割剥片	黒曜石	15.0	7.6	4.7	0.57		-193159.845	-38152.391	127.233		
75	7	レキ		不定形塊片	凝灰岩	53.1	58.8	14.2	61.16		-193158.666	-38152.457	127.373		
76	23	7	石器	二次加工剥片	頁岩	61.0	34.0	15.0	32.83		-193158.282	-38151.769	127.384		
77	7	石器		二次加工剥片	カルンフルスル	10.4	17.3	4.2	0.90		-193158.074	-38152.007	127.308		
78	19	7	石器	使用痕剥片	頁岩	23.0	23.0	8.0	3.22		-193157.962	-38152.435	127.362		
79	7	土器		粗片	-						-193157.551	-38152.154	127.377		
80	7	レキ		不定形塊片	安山岩	60.5	48.3	43.5	150		-193157.079	-38152.068	127.328		
81	7	石器		剥片	黒曜石	18.2	12.1	5.8	1.12		-193157.081	-38152.206	127.347		
82	7	土器		剥離粗片	-						-193157.036	-38151.769	127.335		
83	7	土器		剥離粗片	-						-193156.978	-38151.432	127.331		
84	79	横査	土器	不定形塊片	シルト質頁岩	18.3	11.5	8.4	1.45		-193158.031	-38150.068	127.310		
85	83	79	横査	石器	粗石核	黒曜石	13.3	12.2	13.9	2.55		-193158.154	-38150.191	127.341	
86	79	横査	石器	剥片	メノウ	13.7	19.0	4.9	0.88		-193158.310	-38150.047	127.296		
87	79	横査	石器	分割剥片	砂岩質頁岩	15.6	25.0	6.7	1.28		-193158.450	-38150.219	127.327		
88	79	横査	土器	隆帶文土器突唇部	-						-193158.607	-38150.082	127.371		
89	79	横査	土器	剥離粗片	-						-193158.618	-38149.827	127.340		
90	79	横査	石器	剥片	黒曜石	23.5	17.1	10.9	3.31		-193158.715	-38150.355	127.263		
91	7	石器		叩石	安山岩	91.5	91	63.2	700		-193157.176	-38151.130	127.310		
92	7	石器		分割剥片	チャート	15.4	9.8	7.3	0.98		-193156.727	-38153.220	127.468		
93	7	レキ		不定形塊片	凝灰岩	38.5	31.2	15.5	17.01		-193156.761	-38153.442	127.493		
94	7	土器		剥離粗片	-						-193156.947	-38153.610	127.329		
95	7	石器	-		火山ガラス						-193156.608	-38153.536	127.482		
96	7	レキ		不定形塊	安山岩	129.8	53.6	37.9	319		-193157.012	-38153.804	127.427		
97	7	レキ		不定形塊	安山岩	82.1	52.9	41.5	210		-193157.658	-38153.638	127.367		
98	7	レキ	-		スコリア	63.0	45.7	42.6	168		-193156.118	-38153.454	127.353		
99	7	カーボン	-		-						-193156.286	-38153.366	127.388		
100	7	レキ		不定形塊片	安山岩	50.2	42.8	23.9	60	受熱	-193156.124	-38152.902	127.400		

取上 番号	国際 番号	層	選別内	自然要素	種別	器種名	材質	供盤長	法蓋幅	法蓋厚	重量	標高	X座標	Y座標	Z座標
151	7				レキ	不定形磨片	安山岩	540	33.4	11.6	15.05	-193155.762	-38155.736	127.477	
152	7				レキ	不定形磨片	安山岩	263	21.8	13.4	8.25	-193155.701	-38155.274	127.484	
153	7				レキ	不定形磨片	安山岩	542	40.7	27.0	49.61	-193155.045	-38155.089	127.487	
154	9				石器	砂片	黑曜石	65	4.5	2.0	0.05	-193155.786	-38155.650	127.384	
155	9				石器	砂片	結晶片岩	48.6	33.1	7.1	11.51	-193155.756	-38153.727	127.409	
156	7.9	横板			カーボン	-	-	-	-	-	-	-193158.262	-38159.906	127.217	
157	7				カーボン	-	-	-	-	-	-	-193158.333	-38152.866	127.282	
158	7				カーボン	-	-	-	-	-	-	-193158.163	-38153.473	127.340	
159	5.6				土器	刮削器片	-	-	-	-	-	-193156.123	-38151.433	127.533	
160	7				カーボン	-	-	-	-	-	-	-193159.179	-38153.474	127.272	
161	7				カーボン	-	-	-	-	-	-	-193159.397	-38153.528	127.264	
162	27	9			石器	砾石刃	黑曜石	140	8.0	6.0	0.38	-193158.118	-38151.863	127.215	
163	7				石器	調整磨片	黑曜石	62	10.2	3.2	0.18	-193155.836	-38154.738	127.458	
164	7				レキ	不定形磨片	凝灰岩	52.1	24.1	10.2	10.93	-193155.175	-38154.320	127.443	
165	7				レキ	不定形磨片	凝灰岩	41.1	18.5	16.2	16.35	-193155.639	-38153.349	127.403	
166	7				カーボン	-	-	-	-	-	-	-193158.830	-38154.512	127.306	
167	7				カーボン	-	-	-	-	-	-	-193158.290	-38155.198	127.365	
168	7				レキ	不定形磨	スコリア	24.8	22.5	20.3	6.47	-193158.908	-38155.494	127.332	
169	7				カーボン	-	-	-	-	-	-	-193157.946	-38153.624	127.321	
170	7				レキ	不定形磨片	凝灰岩	347	37.5	26.5	34.12	受熱	-193158.929	-38155.536	127.329
171	7				レキ	不定形磨片	安山岩	51.8	35.7	13.7	34.48	-193159.075	-38155.706	127.303	
172	7				レキ	不定形磨片	スコリア	27	14.2	13.3	3.86	受熱	-193158.801	-38155.707	127.357
173	7				レキ	不定形磨片	凝灰岩	72.8	50.4	15.4	67.96	-193158.256	-38156.382	127.389	
174	7				石器	砂片	黑曜石	72	6.2	2.7	0.09	-193159.774	-38153.002	127.168	
175	7				石器	砂片	黑曜石	7.1	4.2	1.8	0.05	-193159.815	-38153.419	127.246	
176	7				石器	砂片	黑曜石	54	5.1	2.4	0.05	-193159.338	-38153.504	127.265	
177	7				レキ	不定形磨片	凝灰岩	43.8	26.8	15.3	19.87	-193158.671	-38153.572	127.287	
178	7				レキ	不定形磨片	凝灰岩	116.2	60.1	28.7	25.0	受熱	-193158.588	-38153.002	127.260
179	7				レキ	不定形磨	凝灰岩	99.1	79.4	65.5	56.0	受熱	-193159.493	-38154.384	127.226
180	7.9	樹根	石器	調片	シルト質頁岩	11.1	11.5	8.2	1.0	-	-	-193157.740	-38153.193	127.332	
181	7.9	樹根	石器	砂片	黒曜石	8.1	6.0	1.9	0.09	-	-	-193158.111	-38153.030	127.320	
182	7				石器	二次加工調片	メノウ	24.1	21.4	11.5	4.41	-193158.269	-38152.493	127.239	
183	7				カーボン	-	-	-	-	-	-	-193158.422	-38152.385	127.238	
184	7				レキ	-	火山ガラス	-	-	-	-	-193157.275	-38152.189	127.297	
185	7				レキ	不定形磨片	シルト質頁岩	15.8	12.5	5.2	0.91	-193157.251	-38151.551	127.285	
186	42	9			石器	ナツフ形石器	黒曜石	48.0	12.0	6.0	1.15	先端部欠損	-193157.218	-38151.659	127.237
187	9				カーボン	-	-	-	-	-	-	-193157.257	-38151.645	127.239	
188	7.9	樹根	石器	鉋用削剥片	頁岩	23.9	15.8	11.3	3.03	-	-	-193157.928	-38151.769	127.253	
189	7.9	樹根	石器	砂片	黒曜石	7.2	4.9	1.8	0.04	-	-	-193158.028	-38150.133	127.265	
190	7				石器	調片	黒曜石	16.7	5.1	3.4	0.12	-193157.422	-38150.932	127.258	
191	7				石器	調片	半角質岩	6.1	11.7	1.5	0.11	打面欠損	-193157.191	-38150.749	127.255
192	7				レキ	不定形磨	安山岩	32.1	30.6	12.8	12.99	-193157.567	-38151.018	127.285	
193	7.9	樹根	石器	調片	黒曜石	8.5	6.5	2.3	0.09	-	-	-193158.140	-38151.432	127.385	
194	5.6.7	樹根	土器	調片	-	-	-	-	-	-	-	-193156.976	-38153.354	127.379	
195	7				レキ	不定形磨片	安山岩	26.6	26.1	21.6	11.37	-193156.356	-38153.173	127.346	
196	7				石器	調片	黒曜石	7.2	9.5	2.7	0.12	-193157.602	-38154.511	127.369	
197	7				カーボン	-	-	-	-	-	-	-193156.903	-38155.047	127.450	
198	7				カーボン	-	-	-	-	-	-	-193156.958	-38154.995	127.458	
199	7				カーボン	-	-	-	-	-	-	-193157.009	-38153.165	127.455	
200	7				石器	切削調片	黒曜石	14.1	7.4	4.7	0.39	-193156.793	-38154.622	127.443	

取上 番号	固有 番号	道筋内	自然剥離	種別	器種名	材質	往盤長	法蓋幅	法蓋厚	重量	備考	X座標	Y座標	Z座標
201	7			カーボン	-	-					-193157.055	-38154.898	127.439	
202	9・14	樹皮	石器	切削断片	黒曜石	15.4	11.4	7.6	1.65		-193158.361	-38151.653	127.237	
203	7		石器	鉢片	黒曜石	6.8	3.0	2.0	0.02		-193156.689	-38154.256	127.433	
204	7		石器	鉢片	シルト質頁岩	6.9	6.9	5.8	0.23		-193156.016	-38154.363	127.442	
205	7		石器	鉢片	粘板岩	35.9	19.1	9.5	5.01		-193156.084	-38154.216	127.443	
206	5.67	樹皮	レキ	不定形繩	安山岩	38.5	33.5	28.7	36.78		-193157.000	-38155.682	127.439	
207	5.67	樹皮	土器	頸片	-	-					-193157.793	-38155.314	127.415	
208	7		カーボン	-	-	-					-193158.333	-38153.366	127.276	
209	77	7.9	樹皮	石器	圓石刃	黒曜石	9.0	4.0	1.0	0.04	使用痕	-193157.368	-38151.899	127.274
210	7.9		樹皮	レキ	-	火山ガラス					-193157.447	-38151.890	127.254	
211	7.9	樹皮	カーボン	-	-	-					-193157.705	-38151.880	127.256	
212	9		石器	切削断片	シルト質頁岩	7.2	12.0	7.5	0.57		-193156.143	-38152.351	127.350	
213	9		レキ	不定形繩	黒曜石	36.7	27.4	16.1	30.63		-193153.384	-38152.821	127.363	
214	9		石器	使用痕断片	黒曜石	16.7	11.0	4.2	0.46		-193155.794	-38153.003	127.362	
215	9	炉跡	石器	調片	粘板岩	25.2	11.8	2.5	0.80		-193155.367	-38153.160	127.388	
216	9	炉跡	石器	調片	粘板岩	19.3	10.1	2.5	0.44		-193155.227	-38153.166	127.377	
217	9	炉跡	石器	調片	粘板岩	18.8	8.4	3.1	0.43		-193155.324	-38153.274	127.396	
218	39	9	石器	圓石刃	黒曜石	14.0	13.0	10.5	1.84		-193155.516	-38153.329	127.370	
219	9		石器	切削断片	黒曜石	7.6	13.2	5.0	0.46		-193155.076	-38153.581	127.343	
220	9		レキ	不定形繩	黒曜石	23.5	31.2	16.5	11.35	受熱	-193155.138	-38153.681	127.393	
221	84	7.9	樹皮	石器	ブランク	黒曜石	18.0	14.0	14.0	2.85		-193155.051	-38153.921	127.486
222	7		レキ	不定形繩	安山岩	25.3	9.4	11.4	2.71		-193155.047	-38154.043	127.454	
223	7		石器	調片	粘板岩	18.1	17.3	2.6	0.79		-193155.611	-38153.672	127.407	
224	9		石器	鉢片	黒曜石	5.2	4.0	2.0	0.03		-193155.954	-38153.940	127.378	
225	9		石器	調整断片	黒曜石	7.2	6.2	1.9	0.09		-193156.141	-38153.630	127.362	
226	7		カーボン	-	-	-					-193155.962	-38153.633	127.394	
227	7.9	樹皮	カーボン	-	-	-					-193157.706	-38151.927	127.206	
228	9	道路	レキ	不定形繩	黒曜石	28.2	18.9	8.5	4.13		-193156.972	-38152.367	127.260	
229	9	道路	レキ	-	火山ガラス						-193157.202	-38152.356	127.226	
230	9	道路	石器	調片	メノウ	26.9	19.4	8.2	4.29		-193157.291	-38152.323	127.235	
231	9	道路	レキ	-	火山ガラス						-193157.375	-38152.526	127.235	
232	9	道路	レキ	-	火山ガラス						-193157.531	-38152.599	127.232	
233	62	9	道路	石器	細石核	黒曜石	13.0	9.0	10.0	1.14		-193157.349	-38152.810	127.297
234	7		石器	二次加工削片	貝岩	24.0	18.8	8.6	2.68		-193157.265	-38153.603	127.332	
235	7.9	樹皮	石器	切削断片	黒曜石	13.9	4.7	2.9	0.16		-193157.071	-38153.689	127.329	
236	76	7.9	樹皮	石器	細石刃	10.0	5.0	1.0	0.05	使用痕	-193157.635	-38154.158	127.312	
237	9	道路	石器	切削断片	粘板岩	4.0	14.1	2.1	0.10		-193158.025	-38155.036	127.331	
238	9	道路	レキ	不定形繩	安山岩	87.2	57	43.3	22.0	受熱	-193158.303	-38155.220	127.389	
239	14	7		土器	鹿島文土器口縁部	-					-193158.884	-38155.522	127.350	
240	7.9	樹皮	石器	調片	黒曜石	17.6	7.9	6.2	0.77		-193159.033	-38154.512	127.238	
241	7		石器	調片	黒曜石	17.6	11.0	4.6	0.89		-193158.947	-38154.118	127.263	
242	9		石器	鉢片	粘板岩	4.6	16.1	1.3	0.10		-193158.483	-38154.610	127.289	
243	9		石器	鉢片	粘板岩	9.0	6.5	1.2	0.07		-193158.631	-38154.604	127.290	
244	9		石器	鉢片	粘板岩	6.9	16.0	1.9	0.12		-193158.793	-38154.608	127.276	
245	9		石器	鉢片	黒曜石	5.2	6.1	1.6	0.03		-193158.768	-38154.684	127.259	
246	7.9	樹皮	石器	調片	赤色頁岩	16.4	17.5	4.4	1.44		-193158.765	-38153.596	127.203	
247	7		石器	鉢片	黒曜石	4.5	4.4	1.2	0.01		-193159.224	-38153.140	127.181	
248	7		石器	切削断片	粘板岩	20.5	20.4	3.1	1.70		-193155.718	-38154.996	127.405	
249	9		石器	調片	黒曜石	23.9	7.9	3.5	0.46		-193159.963	-38151.726	127.164	
250	7.9	樹皮	カーボン	-	-	-					-193156.179	-38154.183	127.463	

登録番号	所属	年	道府県内	自然要因	種別	器種名	材質	法量長	法量幅	法量厚	重量	備考	X座標	Y座標	Z座標
251	60	9	滋賀	石器	縞石刀	黒曜石	15.0	8.0	2.0	0.26	-193156.997	-38152.126	127.214		
252	9	滋賀	石器	碎片	赤色頁岩	8.0	6.5	1.8	0.10	-193156.644	-38151.765	127.238			
253	9	滋賀	石器	碎片	黒曜石	6.3	6.9	3.8	0.14	-193156.601	-38151.817	127.238			
254	9	石器	碎片	黒曜石	6.7	4.1	1.1	0.3	-193156.461	-38152.414	127.268				
255	9	レキ	-	火山ガラス	-	-	-	-	-	-	-193156.289	-38152.440	127.276		
256	9	カーボン	-	-	-	-	-	-	-	-	-193156.536	-38152.439	127.254		
257	9	石器	碎片	黒曜石	5.8	3.5	2.0	0.02	-193156.174	-38152.807	127.302				
258	9	レキ	不定形断片	頁岩	16.9	12.6	9.2	1.53	-193155.776	-38152.855	127.284				
259	9	レキ	不定形断片	黒曜石	22.7	14.5	7.4	1.92	-193155.921	-38153.069	127.289				
260	9	レキ	不定形断片	黒曜石	62.0	34.2	29.4	42.40	受熱痕	-193155.821	-38153.261	127.279			
261	9	レキ	不定形断片	黒曜石	33.0	21.0	12.0	5.72	受熱痕	-193155.640	-38153.417	127.318			
262	38	9	石器	縞石刀	黒曜石	11.0	5.0	2.0	0.05	-193156.509	-38154.465	127.247			
263	37	9	石器	縞石刀	黒曜石	13.0	6.0	3.0	0.14	-193156.973	-38154.303	127.331			
264	32	9	石器	縞石刀	黒曜石	10.0	4.0	2.0	0.06	使用痕	-193157.306	-38154.770	127.329		
265	7	石器	切削断片	粘板岩	31.4	13.4	3.2	1.63	-193155.446	-38154.865	127.378				
266	9	石器	剥片	メノウ	7.3	6.7	2.2	0.12	-193160.628	-38156.322	127.263				
267	9	遺跡	レキ	不定形断片	安山岩	36.4	30.6	35.5	50.28	-193158.488	-38156.207	127.238			
268	9	遺跡	カーボン	-	-	-	-	-	-	-	-193158.866	-38155.769	127.281		
269	63	9	遺跡	石器	縞石刀	黒曜石	17.0	11.0	8.0	1.38	-193158.789	-38156.300	127.290		
270	9	遺跡	カーボン	-	-	-	-	-	-	-	-193158.727	-38155.627	127.276		
271	9	石器	碎片	黒曜石	5.7	5.4	1.4	0.04	-193159.367	-38155.573	127.274				
272	9	聖火植物跡	石器	碎片	頁岩	5.6	2.3	1.4	0.01	-193159.374	-38155.467	127.280			
273	9	遺跡	石器	碎片	粘板岩	13.5	6.5	3.6	0.26	-193158.669	-38156.374	127.287			
274	9	石器	碎片	頁岩	9.7	14.3	5.4	0.42	-193158.501	-38155.103	127.280				
275	9	石器	スケレイバー	黒曜石	14.8	20.2	13.0	2.43	-193158.829	-38154.981	127.245				
276	56	9	聖火植物跡	石器	縞石刀	黒曜石	7.0	4.0	2.0	0.02	-193159.407	-38155.213	127.264		
277	58	9	聖火植物跡	石器	縞石刀	黒曜石	6.0	4.0	2.5	0.04	-193160.831	-38155.086	127.253		
278	45	9	石器	樹形石器	黒曜石	20.0	14.0	11.0	2.27	使用痕	-193158.477	-38156.639	127.278		
279	81	79	衝突	石器	打面再生剥片	黒曜石	7.5	9.5	3.0	0.10	-193157.993	-38152.493	127.189		
280	9	聖火植物跡	石器	碎片	黒曜石	5.5	3.3	1.4	0.02	-193159.944	-38154.413	127.189			
281	57	9	聖火植物跡	石器	縞石刀	黒曜石	8.0	5.0	2.0	0.04	-193158.170	-38154.555	127.227		
282	79	衝突	石器	調整剥片	黒曜石	6.3	8.3	2.6	0.08	-193158.766	-38154.457	127.196			
283	79	衝突	石器	使用痕剥片	黒曜石	11.5	12.3	5.3	0.52	-193159.506	-38152.860	127.223			
284	79	衝突	石器	碎片	メノウ	11.7	8.1	7.6	0.64	-193159.679	-38132.830	127.217			
285	40	9	石器	打面再生剥片	黒曜石	8.0	14.0	12.0	1.29	-193157.048	-38133.552	127.296			
286	9	石器	調整剥片	黒曜石	7.4	10.3	1.9	0.11	-193155.484	-38133.271	127.234				
287	9	レキ	不定形断片	安山岩	36.6	62.3	33.6	102.33	-193157.549	-38155.338	127.262				
288	80	79	衝突	石器	縞石刀	黒曜石	5.0	5.0	2.0	0.03	-193157.969	-38155.599	127.270		
289	7	衝突	石器	調整剥片	黒曜石	7.2	13.3	2.7	0.21	-193159.485	-38152.334	127.172			
290	7	衝突	レキ	不定形塊	安山岩	40.4	34.2	20.2	15.46	受熱痕	-193159.025	-38152.808	127.264		
291	7	レキ	不定形塊	安山岩	40.8	40.0	30.7	52.00	-193157.649	-38155.198	127.282				
292	7	レキ	不定形塊	粘板岩	77.1	62.5	53.3	256	-193158.180	-38153.231	127.304				
293	9	石器	碎片	黒曜石	2.5	2.5	0.6	0.01	-193157.086	-38154.421	127.320				
294	9	石器	剥片	頁岩	12.1	14.0	2.7	0.53	-193157.566	-38155.339	127.277				
295	12	7	土器	水造式土器口縫部	-	-	-	-	-	-	-193160.975	-38155.742	127.231		
296	7	レキ	不定形塊	粘板岩	36.4	20.8	16.7	4.50	-193159.804	-38152.883	127.172				
297	9	レキ	-	火山ガラス	-	-	-	-	-	-	-193158.168	-38153.899	127.226		
298	22	7	石器	縞石刀	頁岩	79.5	59.9	18.8	149	-193159.938	-38152.023	127.165			
299	9	石器	碎片	頁岩	8.1	4.4	1.2	0.04	-193157.605	-38155.214	127.295				
300	34	9	石器	縞石刀	黒曜石	9.5	10.0	4.0	0.21	-193157.143	-38155.381	127.209			

第4節 第1トレンチの調査

平成12年度の発掘調査によって、水迫遺跡の旧石器時代の旧地形が南側に傾斜することが判明した。この結果を受けて、谷地形へ傾斜する変換点を求め、後期旧石器時代の遺構群範囲を北側において確認するために、現市道北側に調査区を設け、これを第1トレンチとした。調査面積は、80m²である。

調査の結果、第15層上面が、北側に急傾斜しており、上位に堆積する各層もその傾斜の影響を受けていることが判明した(Fig.5)。第9層の上面で、第5、6層の時期に帰属する倒木による横転の痕跡を確認したが、遺構はみられなかった。また、第9層、第10層の時期に帰属する遺構もみられなかった。

本トレンチの土層の堆積状況から、後期旧石器時代に該当する時期の旧地形は、概ねFig.5に示した状況を呈していると推測でき、尾根の平坦面から傾斜面への変換点は、西側拡張区と本トレンチにはさまれた現市道下に求めることができよう。

1. 第1トレンチ出土の遺物

第1トレンチからは合計280点の遺物が出土した。樹齢による擾乱部分からの出土が8点、包含層からの出土が272点である。遺物の種類別の内訳は土器117点、石器66点、礫95点、カーボン2点である。なお、95点の礫の中には、石器素材や、集石の構成礫、または、自然礫が含まれている可能性がある。遺物の帰属層位は、Tab.68を参照されたい。

a. 土器

No.95は水迫式土器Ⅱ類の口縁部破片である。口唇部の断面形状は、外側が若干高くなる。口唇部外面に貝殻焼香部、あるいは棒状具によるキザミを施す。口縁部の外面には貝殻腹縁部による縦位の押し引きが施され、その下位には、貝殻腹縁部による横位の連続する刺突を施す。さらにその下位に貝殻腹縁部による縦位の押し引きがみられる。

No.96は水迫式土器Ⅱ類の口縁部破片である。口唇部は平坦に仕上げられている。口縁部の外面には貝殻腹縁部による縦位の押し引きが施されている。内面は、貝殻腹縁部による調整の後の、ナデ調整が施されている。

No.97は水迫式土器Ⅱ類の口縁部細片である。口唇部は平坦に仕上げられている。口唇部の断面形状は、外側が若干高くなる。口唇部外面に貝殻焼香部によるキザミを施す。口縁部の外面には貝殻腹縁部による縦位の押し引きが施されている。内面には、条痕が残るが、最終的にはナデ調整が施されている。

No.98は水迫式土器Ⅱ類の口縁部細片である。口唇部の断面形状は、外側が若干高くなる。口唇部外面にヘラ状具によるキザミを施す。口縁部の外面には貝殻腹縁部、あるいは棒状具による縦位の押し引きが施されている。その下位には、貝殻腹縁部による横位の連続する刺突を施す。内外面ともにナデ調整で仕上げられている。

No.99、100は水迫式土器Ⅱ類の口縁部破片である。約1/5が残存しており、反転復元した。復元口径は20cmである。口唇部の断面形状は、外側が若干高い。口唇部外面には貝殻腹縁部によるキザミを施す。口縁部の外面には貝殻腹縁部による縦位の刺突が密に施され、その下位には、貝殻腹縁部による横位の連続する刺突を施し、文様帯を区切っている。内外面ともに条痕がみられるが、ナデ調整で仕上げられている。器形や焼成の具合、文様の酷似から、No.99と100は、同一個体と考えられる。

No.101は深鉢形土器の底部破片である。約2/3が残存しており、反転復元した。復元底径は10.7cmである。底部は平底である。全体の器形は胴部に向ってやや広がる円筒形を呈すると推測される。内面には、工具によるケズリの痕跡が残る。外面は、柔軟がみられる部分もあるが、ナデ調整で仕上げられている。



PL252 第1トレンチ遺物の出土状況

The situation of the artifacts from the excavation of the first trench



PL253 第1トレンチ遺物の出土状況

The situation of the artifacts from the excavation of the first trench

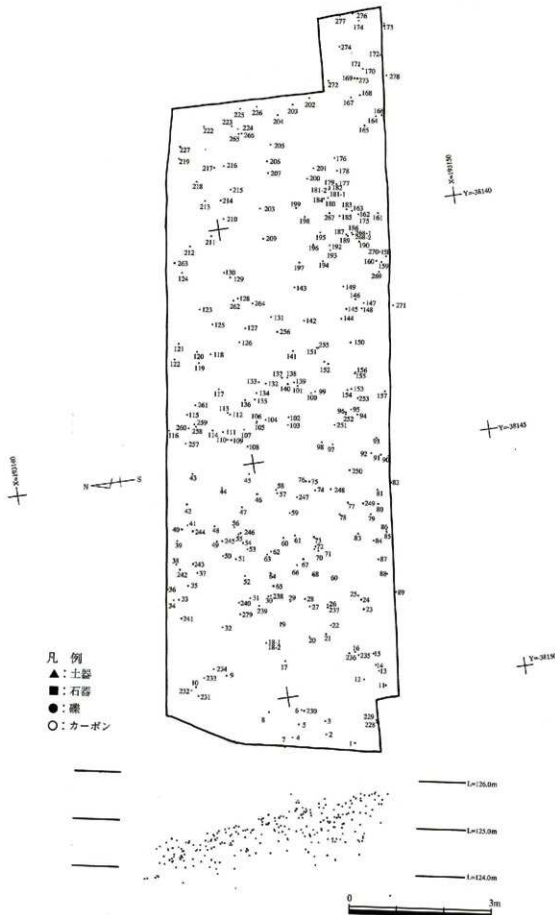


Fig.125 第1トレンチの遺物分布図(S=1/80)
 The situation of the artifacts in the first trench

No.102は深鉢形土器の底部破片である。約1/2が残存しており、反転復元した。復元底径は8cmである。底部は平底である。全体の器形は、胴部に向ってやや広がる円筒形を呈すると推測される。内面には、ユビオサエや工具によるケズリの痕跡が残る。外面には、条痕がみられる部分もあるが、ナデ調整で仕上げられている。

No.103は深鉢形土器の底部破片である。底部は平底である。全体の器形は、胴部に向ってやや広がる円筒形を呈すると推測される。内面には、工具によるケズリの痕跡が残る。外面には、貝殻条痕がみられる。

No.104は深鉢形土器の底部～胴部の破片である。約7/8が残存しており、反転復元した。復元底径は8cmである。底盤は、半底になる。全体の器形は胴部に向って広がる円筒形を呈する。内面には、ユビオサエや工具によるケズリの痕跡が残る。外面には、貝殻条痕がみられる部分もあるが、ナデ調整で仕上げられている。

No.105は深鉢形土器の底部～胴部の破片である。底部は1/1が残存していた。底径は8.6cmである。底部は、わずかに上げ底になる。全体の器形は円筒形を呈する。内外面には、工具による器面調整の痕跡が残る。

No.106は深鉢形土器の底部～胴部の破片である。底部は1/1が残存していた。底径は9.6cmである。底部は、平底になる。全体の器形は胴部に向ってやや広がる円筒形を呈する。内面には、工具による器面調整の痕跡が残る。外面には、貝殻条痕が残る。また、底部外面には、貝殻条痕が明瞭に残る。

(文責 渡部・下山)

b.石器

磨製石斧 (Fig.128 - No. 107)

a面・b面・d面に研磨痕が認められる。a面左側部の研磨痕は、2枚の調整剥離面の後線部分に認められる。b面の研磨痕は、素材的主要剥離面の一部に認められる。a・b面に認められる研磨痕の条線のあり方から、a・b面は、同じ方向から研磨されていることが看取できる。d面の研磨痕は、石斧の長軸と直交する方向から研磨されている。d面に認められる細かな剥離痕は調整痕と想定ができる。その調整痕と研磨痕との切り合い関係については判断が難しい。そのため、その調整痕が、石斧の製作段階のものなのか、あるいは、石斧の形態を再整形する段階のものか岐別がつかない。石斧の刃部側が欠損していることから、製品として利用されている可能性もある。しかしながら、下記の内容から、磨製石斧の未製品の可能性が想定できる。

- ・調整はまだであること。
- ・b面にはほどんど調整を施しておらず、素材獲得段階の主要剥離面が大きく残されていること。
- ・欠損面に認められる剥離面の加点位置が、d面の調整痕とはほぼ同じ位置であることから、調整段階のアクシデントで欠損した可能性が想定できること。

両面加工石器 (Fig.128 - No. 108)

No. 108は、a面のほぼ全周と、b面の左側部に二次加工が認められる両面加工石器である。大部分の加工は、剥離面が大きいことから、未製品の可能性が想定できる。基部に施されている加工は、他の周縁に比べて細かい。また、加工された基部の形状から、舌状に整形する意図を看取ることができる。a・b面の剥離面の切り合い関係から、b面左側部基部側の剥離面以外は、全てa面が新しい。先端部の二次加工は、特に集中して認められない。先端部の形状は、山形を呈している。最終的な石器の形態を把握することができないため、「両面加工石器」として分類した。頁岩製の剥片を素材としている。

細石刃 (Fig.129 - No. 109~111)

No. 109は、完形品である。a面右側部に、自然面が認められる。頭部調整が顕著に認められる。a面左側縁とb面右側縁に使用痕が認められる。

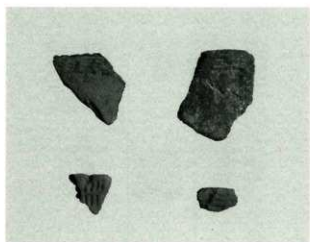
110は、上端部が切断されている細石刃である。a面下端部に自然面が認められる。a面右側縁に使用痕が認められる。112は、細石刃の下端部である。

細石刃核 (Fig.129 - No. 112)

No. 112は、a面に細石刃の剥離作業面が認められる細石刃核である。作業面には、細石刃の剥離痕が4条認められる。a面左側面に認められる細石刃の剥離痕は、他の細石刃の剥離痕と比べて幅広である。細石刃核の打面部(e面)は、a面側からの加壓による剥離で作出されている。また、e面の縁辺には、打面調整と考えられる微細な剥離痕が認められる。面左側面の剥離痕とd面下部の剥離痕には、明確な打点が認められる。このことから、これらの剥離痕は、素材の獲得後に剥離されたものである。よって、細石刃核の側面及び下端部の整形を目的とした剥離痕と想定することができる。b・c・d面の剥離痕の状況と形狀から、細石刃核の素材は、厚みのある不定形剥片と想定できる。頁岩製である。

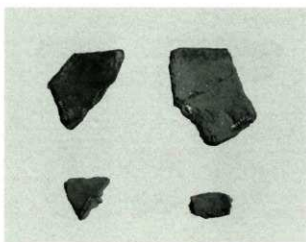
ナイフ形石器 (Fig.129 - No. 113・114)

No. 113は、a面右側縁と左側縁に、プランティングが認められる二側刃加工のナイフ形石器である。素材の剥片の打面部をナイフ形石器の基部(a面右側下部)に設定している。a面右側縁の全縁に認められるプランティングは、以下



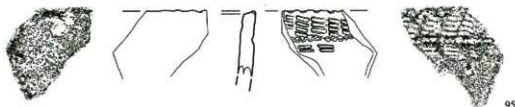
PL254 第1トレンチ出土遺物

Artifacts of the excavation in the first trench

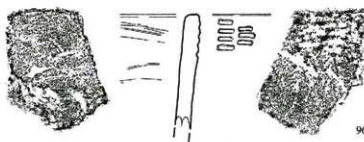


PL255 第1トレンチ出土遺物

Artifacts of the excavation in the first trench



95



96



97

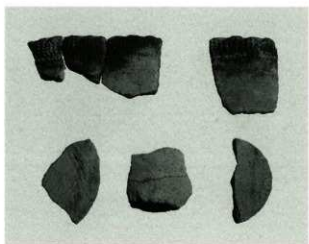


98

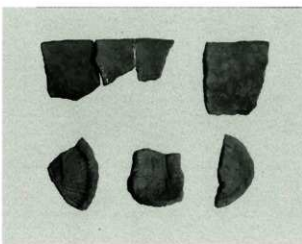


Fig.126 第1トレンチの出土遺物①(S=1/2)

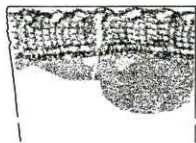
Artifacts from the first trench



PL256 第1トレンチ出土遺物
Artifacts of the excavation in the first trench



PL257 第1トレンチ出土遺物
Artifacts of the excavation in the first trench



99



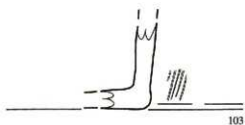
100



101



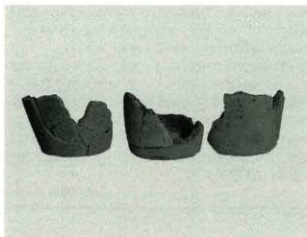
102



103

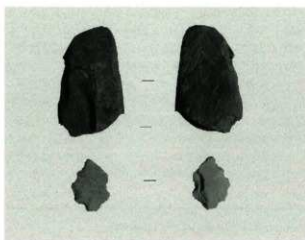
0 10cm

Fig.127 第1トレンチの出土遺物②(S=1/2)
Artifacts from the first trench



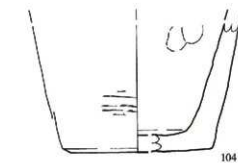
PL258 第1トレンチ出土遺物

Artifacts of the excavation in the first trench

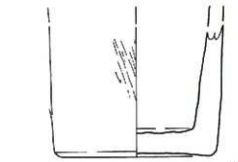


PL259 第1トレンチ出土遺物

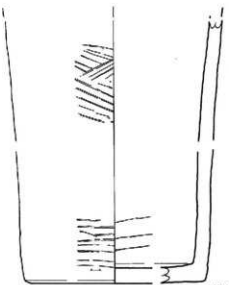
Artifacts of the excavation in the first trench



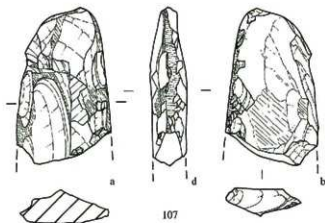
104



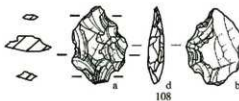
105



106



107



0

10cm

Fig.128 第1トレンチの出土遺物③(S=1/1)

Artifacts from the first trench

のように観察できる。先端部側のプランティングは、a面側から施されている。基部側半分プランティングは、まずb面側から施され、その後にa面側から施されている。a面左側縁のプランティングは、全てb面側から施されている。刃部には使用痕が僅かに認められる。刃部の形状はやや曲刃である。先端部は欠損している。頁岩である。

No.114は、a面右側縁と左側縁にプランティングが認められる二側刃加工のナイフ形石器である。プランティングは、全てb面側から施されている。素材の剥片の打面部をナイフ形石器のa面右側面に設定している。素材の部面部は、プランティングによって除去されている。なお、ナイフ形石器の刃部は、剥離面の切り合い関係から以下の推測ができる。刃部に用いられている縁辺の剥離面は、a面の中央に位置している剥離面とb面の主要剥離面を切っている。さらに、d面の先端部側のプランティングも切っている。これらのことから、刃部に用いられている縁辺の剥離面が、最も新しいと考えられる。以上のことから、ナイフ形石器の刃部は一度欠損している可能性が想定できる。よって、刃部は使用により欠損した剥離面の縁辺を、再度利用していることが推測できる。頁岩製である。

(文責 錦田・下山)

Paragraph.4 Survey of the 1st trench

From the excavation survey of 2000, we confirmed that the old slope of the land from the Paleolithic era of the Mizusako site inclined to the south side. We established the survey ward in the north side of the municipal road to confirm the range of the features in the latter period of the Paleolithic era. We made this the 1st trench. The area of the survey is 80m². It is understood that the 15th layer surface inclines steeply to the north side. The 15th layer inclination influenced the layers that accumulated later.(Fig. 5) We confirmed the trace of a roll in the stratum caused by the fall of a tree from the surface of the 9th layer that reverted to the time of the 5th and 6th layers. However, there were no features. There were also no features from the time of the 9th or 10th layers. From situation of the accumulation of the soil layers of this trench, we conject that the old slope of the that corresponds in the latter period Paleolithic era which is shown in Fig. 5.

1.The reliques that were excavated from the 5th and 6th layers

103 reliques were excavated from the 5th and 6th layers. Itemization of the remains include; 117 pottery fragments, 66 stone implements, 95 stones and 2 carbons. We think that they are the materials of stone implements, stacked stones and natural stones, among the 95 stones found. However, we can not classify the stones only from their form. The reliques were excavated from all areas of the survey ward. We did not view the location where most of these artifacts were excavated from.

a.Pottery

No. 95 is a fragment of the rim of a Mizusako type 2 pottery piece. A notch is imprinted on the outer surface of the lip by using the hinge part of the shell or bar like implants. The shell design is in the outer surface of the rim of this pottery.

No. 96 is a fragment of the rim of a Mizusako type 2 pottery piece. The shell design is on the outer surface of the rim of this pottery. The top of the lip is flat. As for the inner surface, the finish has been completed by using a shell.

No. 97 is a fragment of the rim of a Mizusako type 2 pottery piece. The top of the lip is flat. The outside section form of the lip is a little high. A notch is imprinted on the outer surface of the lip by using the hinge part of the shell. A shell design is on the outer surface of the rim of this pottery.

No. 98 is a fragment of the rim of a Mizusako type 2 pottery piece. The outside section form of the lip is a little high. A notch is imprinted on the outer surface of the lip by using a thin plate bar like implement.

No. 99 and 100 are fragments of the rim of a Mizusako type 2 pottery piece. About 1/5 were remaining. The diameter of the opening that was restored it is 20cm. The outside section form of the lip is a little high. A notch is imprinted on the outer surface of the lip by using the hinge part of a shell. The shell design is on the outer surface of the rim of these potteries. We think that No. 99 and 100 are the same pottery from the resemblance of their condition, structure, and how they were fired.

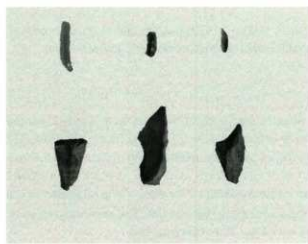
No. 101 is a fragment of the bottom of a deep bowl form pottery. About 2/3 remains. The bottom diameter that was restored is 10.7cm. The bottom is flat. We conject that the whole items form is a cylindrical form that spreads out from the bottom to the trunk.

No. 102 is a fragment of the bottom of a deep bowl form pottery. About 1/2 remains. The restored bottom diameter is 8cm. The bottom is flat. We conject that the items whole form is a cylindrical form that spreads out from the bottom toward the trunk.

No. 103 is a fragment of the bottom of a deep bowl form pottery. We conject that the items whole form is a cylindrical form that spreads out from the bottom toward the trunk.

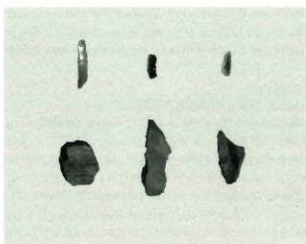
No. 104 is a fragment of the bottom~trunk part of a deep bowl form pottery. About 7/8 remained. The bottom is flat. We conject that the items whole form is a cylindrical form that spreads out from the bottom to the trunk.

No. 105 is a fragment of the bottom~trunk part of a deep bowl form pottery. About 1/1 remained. The bottom diameter is 8.6cm.



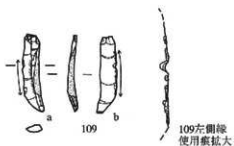
PL260 第1トレンチ出土遺物

Artifacts of the excavation in the first trench

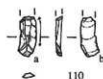


PL261 第1トレンチ出土遺物

Artifacts of the excavation in the first trench



109左側縁
使用痕拡大



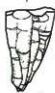
110



111



e



a



d

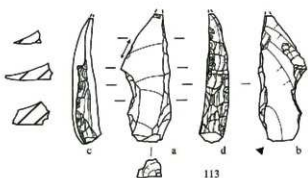


b

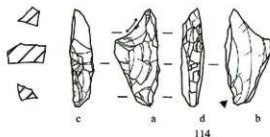


c

112



113



114



Fig.129 第1トレンチの出土遺物④(S=1/1)

Artifacts from the first trench

The bottom is slightly raised. The whole items form is cylindrical.

No. 106 is a fragment of the bottom-trunk part of a deep bowl form pottery. About 1/1 remained. The bottom diameter is 9.6cm. The bottom is a flat. We conject that the whole items form is a cylindrical form that spreads out from the bottom to the trunk.

b. Stone tool

The polishing stone ax(Fig. 128 No.107)

There are grinding marks in faces a, b and d. Grinding of the left side of face a. was performed to part of the arris after 2 sheets of preparation flakes were removed. Grinding of face b was performed to a part of the main removal face of the material. We confirmed that it was ground in both sides alike and in the same direction, from the incised lines of the grinding marks of faces a and b. Face d was ground in a direction which meets at a right angle toward the major axis. We do not know which of the small removal marks and grinding that are in face a and d, were made first. We cannot say whether the preparation marks are traces of original production of a stone ax. or from the stage of restoration. There is a possibility that it was used as the cutting edge side of the stone ax was missing. However, there is the possibility that it was a replica of a polishing stone axe because of the following points;

The grinding marks are not performed on all of the polishing stone ax.

The preparation is rough.

The preparation is mostly performed on face b.

The main removal face remained after the flake was removed.

The percussion marks are almost in the same position as the preparation marks.

The double sided processing stone tool(Fig. 128 No.108)

The processing is performed to almost all the circumference of face a and the left side of face b. 108 may be a replica because most of the removal is rough. The processing that was performed to the base is smaller than the other edges. From the form of the base we are able to conject the intention of the restoration was to be in a tongue form. The top is formed like a peak. We can not conject the structure of a final stone tool. Thereupon, we classified 108 as a double sided processing stone tool. The flake is made of shale.

The microblade(Fig. 129 No.109~111)

109 are a complete article. There is a cortex on the right of face a. There is conspicuous head preparation. There are edge wear marks in the edge on the right side of the edge, and in face b on the left side of face a.

110 is a microblade that has its upper end cut. There is a cortex in the lower end part of face a. There are edge wear marks in the edge on the right side of face a.

112 is the lower end part of a microblade.

The microcore (Fig. 129 No.112)

112 is a microcore with the removal flaked surface of a microblade in face a. The butt of the microcore of face c was produced by the removal from the side of face a. There are minute removal marks on the edge of face c. We think this is the butt preparation. 4 removal marks of the microblade are on the flaked surface of face a. The width of the removal marks of the microblade on the left side of face a are wider than the removal marks on other microblades. The striking point remains and has removal marks in the lower part of face d and on the left side of

the face c. From this case, we think that these removal marks were made after the flake of the material was removed. We think that this is the preparation for the removal of the and lower end of the microcore. From the situation and form of the removal marks of faces a, b and c we think that the material of the microcore is a thick indeterminate form flake. It is made of shale.

The backed blade(Fig. 129, No.113, 114)

The blunting is performed to the all the edges on the right side of face a of 113. The butt of the flake of the material was made in the lower part on the right side of face a. The blunting which was performed on the all the edges of face a was performed from face a and b. Half of the blunting on the top was performed from the side of face a. Firstly, half of the blunting of the base was performed from face b, then it was performed from face a. All the bluntings on the edge of the left side of face a was performed from face b. Edge wear marks barely remain on the cutting edge. The cutting edge is slightly curved. The top is missing. The material is shale. There are bluntings on all the edges on the right side and on the left side edge of face a. All the bluntings were performed from face b. The butt of the flake of the material was made on the right side of face a. The butt of the material was removed by the blunting. Furthermore, from the condition of the overlapping of the removal face, we come to the following conclusions about the form of the top. The thin removal marks on the edge appear to be wear marks. From this case, we think that there is a possibility that the cutting edge broke off during use, and the removal face was used again. The material is shale.

同番 取上げ No.	器種・型式名 No.	残存法量 (cm)	部位	色 内	色 外	色 内	色 外	加工歴	混和材	測定	その他	出土 羽根位	接合
95 118	深鉢形土器・木漆 壁片	口縁部 7SYR4/2 7SYR5/3 2SY4/1	砂粒を若干 含む 砂粒を含む 黒、白、金、銀	カ・セ・白・黒・金・銀	内・マツメ 外・貝殻系灰 口縁・貝殻模様部 にによる縦位の押し引き 11脚・貝殻模様部 もしくは堆積具によるモザイク	内・マツメ 外・貝殻系灰 口縁・貝殻模様部 にによる縦位の押し引き 11脚・貝殻模様部 もしくは堆積具によるモザイク	無さギモソ	6					
96 26	深鉢形土器・木漆 壁片	口縁部 10YR5/3 7SYR3/1 2SY3/1	砂粒・微細粒 含む 砂粒を含む 黒、白、金、銀	カ・セ・白・黒・金・銀	内・貝殻系灰 にち ナデ 外・マツメ 口縁・貝殻模様部 にによる縦位の押し引き 口縁・ヨコナデ	無さギモソ	6.7						
97 268-1	深鉢形土器・木漆 壁片	口縁部 7SYR4/2 10YR4/2 7SYR3/1	砂粒を含む 白、黒	カ・セ・白・黒	内・貝殻系灰 にち ナデ 外・マツメ 口縁・貝殻模様部 にによる縦位の押し引き 口縁・ヨコナデ	無さギモソ	5.6						
98 177	深鉢形土器・木漆 壁片	口縁部 10YR4/2 10YR5/3 7SYR4/2	砂粒・微細粒 含む 砂粒を含む 黒、白、金、銀	カ・セ・白・黒・金・銀	内・貝殻系灰 にち ナデ 外・マツメ 口縁・貝殻模様部 にによる縦位の押し引き 11脚・貝殻模様部 もしくは堆積具によるモザイク	無さギモソ	6						
99 68	深鉢形土器・木漆 壁片	口縁部 1/5残 存復元口径 20cm	7SYR5/3 ~ 10YR5/2 10YR3/1	砂粒を含む 白、黒	カ・セ・白・黒	内・貝殻系灰 にち ナデ 外・マツメ 口縁・貝殻模様部 にによる縦位・横位 の組合せ 口縁・ヨコナデ 口縁・横状具によるナデ	7.8	105	106				
100 158	深鉢形土器・木漆 壁片	口縁部 7SYR4/1 7SYR5/3 10YR5/3	砂粒を含む 白、黒	カ・セ・白・黒	内・貝殻系灰 にち ナデ 外・マツメ 口縁・貝殻模様部 にによる縦位・横位 の組合せ 口縁・ヨコナデ 口縁・横状具によるナデ	無さギモソ	6.7	回No90と同一個体の可能性あり					
101 18-1	深鉢形土器	破片・2/3残 底部 10YR4/2 7SYR6/3 10YR4/2	砂粒を含む 白、黒	カ・セ・白・黒	内・工具によるケズリ 外・ナデまたは貝殻系灰のナデ	内・工具によるケズリ 外・ナデまたは貝殻系灰のナデ	6	36					
102 195	深鉢形土器	破片・1/2残 底部 存復元底径約8cm	砂粒、細 砂粒を含む 白、黒	カ・セ・白・黒	内・マツメ 外・ナデまたは貝殻系灰のマツメ	内・マツメ 外・ナデ	6						
103 268-2	深鉢形土器	破片 底部 7SY5/3 5SY5/4 7SY4/2	砂粒、細 砂粒を含む 白、黒	カ・セ・白・黒	内・工具によるケズリ 外・貝殻系灰のナデ	内・工具によるケズリ 外・貝殻系灰のナデ	5.6						
104 161	深鉢形土器	破片・7/8残 底部 存復元底径8cm	砂粒・微細粒 含む 白、黒	カ・セ・白・黒	内・ユビリエのナデ、工具によるガブリ、外・貝殻系灰のナデ、工具によるナデのナデ	内・ユビリエのナデ、工具によるガブリ、外・貝殻系灰のナデ、工具によるナデのナデ	6.7	181-1 183 213					
105 62	深鉢形土器	破片・底部 底部~1/1残存復元 底径約6cm	砂粒を含む 白、黒	カ・セ・白・黒	内・工具によるケズリ 外・工具によるナデのナデ	内・工具によるケズリ 外・工具によるナデのナデ	6.7	192					
106 18-2	深鉢形土器	破片・底部 底部~1/1残存復元 底径約6cm	砂粒・微細粒 含む 白、黒	カ・セ・白・黒	内・工具によるケズリ、ナデ 外・貝殻系灰	内・工具によるケズリ、ナデ 外・貝殻系灰	7.8	180.181-2 200.205. 224.278					

Tab.66 第1トレンチ出土の遺物観察表
Attributes of the artifacts from the first trench

番号 No.	取上げ No.	器種	石材	法長(cm) (g)	重性	打面形状	調整・加工	使用痕	荒乱事由	出土層位	参考
107	204	磨製石斧	安山岩	最大長:5.6 最大幅:3.4 最大厚:1.2	30	-	研磨		6	先端部欠損	
108	69	両面加工石器	頁岩	最大長:4.1 最大幅:3.1 最大厚:0.8	8.14	除去			6	尖端品	
109	77	磨石刃	黒曜石	最大長:2.1 最大幅:0.5 最大厚:0.2	0.14	点状	-	微小削離	横軸	6, 7, 8, 9	完形品
110	135	磨石刃	黒曜石	最大長:10.6 最大幅:0.5 最大厚:0.2	0.02	切削	-		斜直	6, 7, 8, 9	上端部欠損
111	140	磨石刃	黒曜石	最大長:0.9 最大幅:0.5 最大厚:0.2	0.2	切削	-		斜直	6, 7, 8, 9	上端部欠損
112	157	磨石刃核	頁岩	最大長:2.2 最大幅:1.7 最大厚:0.8	4.31	剥離跡	-		斜直	7, 8, 9	
113	1	ナイフ形石器	頁岩	最大長:3.4 最大幅:1.3 最大厚:0.8	2.47	除去	-	刃こぼれ状	横軸	5, 6	土壤 先端部欠損
114	6	ナイフ形石器	赤色頁岩	最大長:2.6 最大幅:1.2 最大厚:0.8	1.58	除去	-		横軸	6, 7, 8, 9	

Tab.67 第1トレンチ出土の遺物観察表
Attributes of the artifacts from the first trench

第5節 第2トレンチの調査

平成11年度の発掘調査によって、水迫遺跡の第1調査区では、弥生時代の遺物・遺構が検出された。この結果を受けた、弥生時代包含層の範囲を確認するために、現市道北側に調査区を設け、これを第2トレンチとした。調査面積は、8m²である。

調査の結果、第1層f, gから、弥生時代の遺物が出土し、弥生時代の遺物包含層の広がりを確認した。調査面積が狭かったこともあり、旧石器時代の包含層まで到達できず、調査は、弥生時代包含層まで留めた。

1. 第2トレンチ出土の遺物

第2トレンチからは合計56点の遺物が出土した。遺物の種類別の内訳は土器50点、石器2点、礫4点である。なお、4点の礫の中には、石器素材や、集石の構成礫、または、自然礫が含まれている可能性がある。遺物の帰属層位は、Tab.70を参照されたい。

a. 土器

No.115は彫形土器（入来式土器）の口縁部～胴部突帯部の破片である。口縁部に突帯が「L」字状に貼付され、突帯部には、刻みが施される。刻みには棒状具が用いられたと考えられる。胴部の突帯は、2条が巡り、いずれも、棒状具による刻みが施されている。内外面は工具によるナデの後、ナデ調整で仕上げられている。

No.116は彫形土器（入来式土器）の口縁部～胴部突帯部の破片である。口縁部に突帯が「L」字状に貼付され、突帯部には、刻みが施される。刻みには棒状具が用いられたと考えられる。胴部に1条の突帯が巡る。刻みは施されていない。内外面は工具によるナデの後、ナデ調整で仕上げられている。

No.117は彫形土器（吉ヶ崎式土器）の口縁部～胴部突帯部の破片である。口縁部に突帯が「L」字状に貼付される。口縁部は内湾し、口唇部の上面は、やや外側に落ちる。胴部には突帯が2条巡る。口縁部、胴部ともに突帯に刻みは施されていない。内外面は工具によるナデの後、ナデ調整で仕上げられている。

No.118は彫形土器（入来式土器）の口縁部の破片である。口縁部に突帯が「L」字状に貼付される。

口唇部の上面は、やや外側に落ちる。口唇部上面に暗文が残る。内外面は工具によるナデの後、ナデ調整で仕上げられている。

No.119は彫形土器（吉ヶ崎式土器）の胴部突帯部の破片である。胴部に3条の突帯が巡る。突帯に刻みは施されていない。外面には、ハケメの痕跡が残る。内外面ともに、ナデ調整で仕上げられている。

No.120は彫形土器（入来式土器、あるいは山口式土器）の胴部突帯部の破片である。胴部に3条の突帯が巡る。突帯に刻みは施されていない。内外面ともに、最終調整はナデである。

(文責 渡部・下山)

b. 石器

磨石 (Fig.131・No. 122)

122は、平面形態は、ほぼ円形に整形されている。a面左側面が破損している。a面中央部に磨面が認められる。c面とb面に、敲打痕が認められる。石材は、安山岩である。

石礫 (Fig.131・No. 121)

No.121は、基部に抉りが認められる石礫である。a面とb面に、調整による剥離面が認められる。剥離面の切り合いで、關係から、以下の製作工程が推測できる。まず、a面（素材の剥片の表面）の側縁を調整後、b面の調整が施されている。基部は、a面とb面側からの加壓による調整によって整形されている。基部の剥離痕は、他の周辺の剥離痕によって切られている。このことから、まず、基部を整形した後に、先端部を整形していることが看取できる。先端部の調整は、a面を施した後に、b面が施されている。最終段階の調整は、b面右側部の先端部で行われている。石礫の両側縁はやや曲線を描く形状を呈している。断面形態はレンズ状を呈している。安山岩製である。

(文責 渡部・下山)

Paragraph.5 Survey of the 2nd trench

The artifacts and features from the Yayoi period were discovered in survey ward No. 1 from the excavation in 1999. Following this result, we established the survey ward in the north side of the present municipal road in order to confirm the range of the Yayoi period containment layer. We made this the 2nd trench. The survey area is 8m². The relics in the Yayoi period were excavated from the 1st layer f and g. We were not able to investigate the containment layer in the Paleolithic era because the survey area was too narrow. We fixed the survey area to the Yayoi era containment layer.

1. Artifacts of the 2nd trench



PL262 第2トレンチ遺物出土状況

The situation of the artifacts from the excavation of the second trench



PL263 第2トレンチ遺物出土状況

The situation of the artifacts from the excavation of the second trench

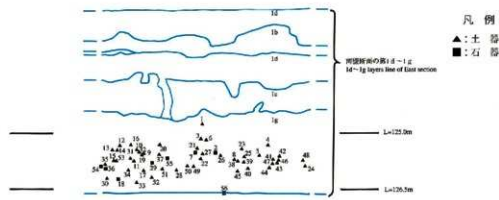
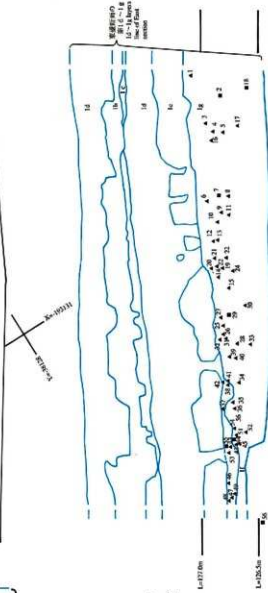
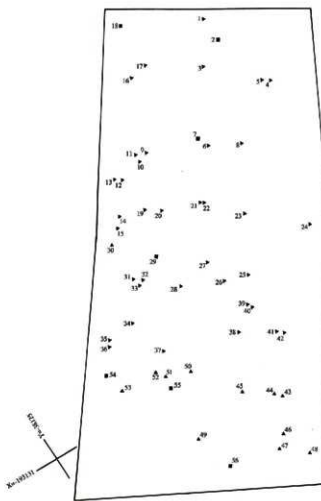


Fig.130 第2トレンチの遺物分布図(S=1/50)

The situation of the artifacts in the second trench

*番号は、2トレンチの遺物取上げ番号である。

The artifacts at 56 points were excavated from the 2nd trench. The itemization of the relics are; 50 pottery pieces, 2 stone implements and 4 stones. Furthermore, there is a possibility that constitution stones, natural stones of stone implements and stacked stones are included in four points. Refer to Tab. 69 for the placement of the relics.

a.Pottery

No. 115 is a fragment of a jar(Iriki type pottery). This pottery has a clay band on its outer surface of the rim. A notch is imprinted on the clay band of the rim. There are two bands on the trunk of the pottery.

No. 116 is a fragment of a jar(Iriki type pottery). This pottery has a clay band on its outer surface of the rim. There is one band on the trunk part of the pottery. A notch is imprinted in the band.

No. 117 is a fragment of a jar(Yosigasaki type pottery).

This pottery has a clay band on its outer surface of the rim. The clay band is plain. The rim of a pottery slopes inward. There are two bands on the trunk of the pottery. The bands are plain.

No. 118 is a fragment of a jar(Iriki type pottery). This pottery has a clay band on its outer surface of the rim. The design that remains on the lip was made with a black ink type material.

No. 119 is a fragment of a jar(Yosigasaki type pottery). There are three clay bands on the trunk. The bands are plain.

No. 120 is a fragment of a pot(Iriki type pottery or Yamanokuti type pottery). There are three clay bands on the trunk. The bands are plain.

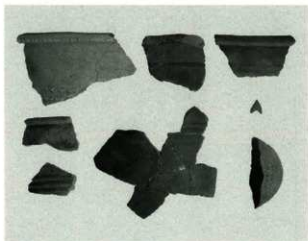
b.Stone tools

The stone arrowhead(Fig. 131 No.121)

The base of No. 121 is scooped. There is a removal face which was prepared from faces a and b. Firstly the preparation of face b was carried out after the preparation on the edge of face a. The base was prepared from the sides of faces a and b. The top was restored after the restoration of the base. Preparation of the top was carried out after the preparation of face a. Final stages of preparation were carried out on the top right side of face b. The edge of both sides of the stone arrowhead are slightly curved. Its structure is lens like. It is made of andesite.

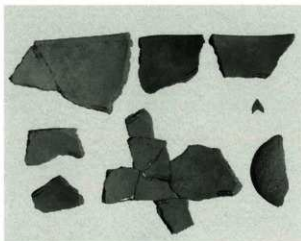
The polishing stone(Fig. 131 No. 122)

The structure of 122 is almost circular. The left side of face a is damaged. There is a polishing face at the center of face a. There are pecking marks on faces b and c. The building stone is andesite.



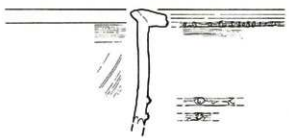
PL264 第2トレンチ出土遺物

Artifacts from the excavation of the second trench

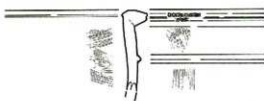


PL265 第2トレンチ出土遺物

Artifacts from the excavation of the second trench



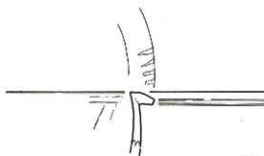
115



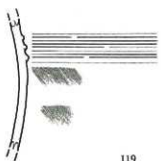
116



117



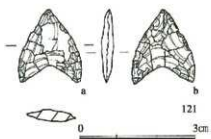
118



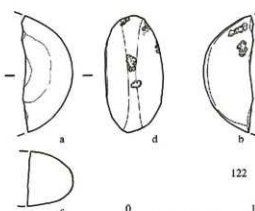
119



120



121



122

0 10cm

Fig.131 第2トレンチの出土遺物(S=1/1・1/3)
Artifacts from the second trench

1)	No	取上げ No	器種・形式名	残存法量(cm)	部位	色 内	色 外	色 肉	色 鮎	胎土粒	混和剤	調査	その他	出土 場所	総合 観察	
115	49		裏形土器・入 瓦片 末式土器		口縁部～ 尖端部	30YR5/4	75YR6/4	10YR5/3		砂粒を含む 白・黒・他		内・工具によるナ ダ・ハケメのちナ ダ・外・工具によるナ ダ・工具によるナ ダ・ヨコナダ・口 縫・ヨコナダのち キザ・口縫・ヨコ ナダのちキザ・ミ 口縫・工具による ナダ・工具による ナダのちナダ	焼きモモン	1kg		
116	22		裏形土器・入 瓦片 末式土器		口縁部～ 尖端部	25Y4/1	5YR4/2	10YR4/2		細・粗砂粒 を若干含む	白・黒・他	内・ハケメのちナ ダ・外・ハケ メのちナダ 内・ヨコナダ・口 縫・ヨコナダのち キザ・口縫・ヨコ ナダ・工具による ナダ	焼きモモン	1kg		
117	8		裏形土器・ 古ヶ崎式土器		口縁部～ 尖端部	25Y4/1	10YR3/2	10YR4/2		砂粒・繊 維砂粒を含む 白・黒・他		内・ナダ 外・工具によるナ ダ・工具によるナ ダ・ヨコナダ・口 縫・ヨコナダ 口縫・工具による ヨコナダ	焼き不明	1kg		
118	9		裏形土器	破片	口縁部	75YR5/4	75YR4/3	75YR5/4		細・粗砂粒 を含む	白・黒・他	内・工具によるナ ダ・工具によるナ ダ・工具によるナ ダ・ヨコナダ 口縫・ヨコナダ 口縫・工具による ヨコナダ	焼き不明	1kg		
119	3		裏形土器・ 古ヶ崎式土器		尖端部～ 底部	10YR4/2	10YR3/1	25Y3/3		砂粒を含む 白・黒・他		内・ナダ 外・ハケメのちナ ダ・内・ヨコナダ		1kg	13 15 23 25 35 36	
120	44		裏形土器	破片	尖端部	75YR6/3	10YR4/2	10YR4/2		砂粒・繊 維砂粒を含む 白・黒・他		内・ナダ 外・工具によるナ ダのちナダ 内・工具によるナ ダ・ヨコナダ		1kg		
121	2		打製石器	最大長2.3 最大幅1.6 最大厚0.3 重量1.5g						石材: 安 山岩					1kg	
122	7		磨石	最大長2.5 最大幅2.6 最大厚0.3 重量2.5g						石材: 安 山岩					1kg	

Tab.69 第2トレンチ出土の遺物観察表
Attributes of the artifacts from the second trench

第4章 調査成果

(1) 後期旧石器時代の集落^⑨の検出

平成11年度の広域農道に伴う発掘調査で、後期旧石器時代に帰属する竪穴建物跡2基、道跡1条、多数の杭跡が発見され注目を集めましたが、今回の調査では、第9層から掘り込まれた竪穴建物跡5基、道跡2条、炉跡2基等が新たに発見された。以下に、その成果についてまとめる。

遺構群の時期

第9層は、「野岳・休場型縄石刃核」の細石刃・細石刃核の石器群を主体に包含している。また、第9層からは、三段尖頭器や槍先型尖頭器が消失した段階のナイフ形石器文化後半に帰属する小型のナイフ形石器や台形石器も出土している。しかしながら、先述の通り、両者の共伴関係は明らかでない。従って、現段階では、遺構群の時期は、これら遺物の時期幅の中に該当するものとして捉えられる。

なお、後期旧石器時代の遺構群は、黒褐色の第9層から、黄褐色の固結した宿利原火山灰ローム層（第14層）を掘って構築されている。両土層には、土色や土質に明らかな違いがあるため、比較的遺構の検出が容易である。また、第14層が固結しているので、第14層上面の部分は、遺構の保存状況が良好である。さらに、第9層には、岩本火山灰が含まれ、上層には、約11,400年前に比定されているサツマ火山灰が堆積している。このように大きな火山灰の存在によって、層位学的な時期の検証が可能であることは、本遺跡の良好な条件の一つである。

後期旧石器時代の集落研究での位置づけ

第I調査区、第1トレーナー、並びに西側拡張区の旧地形の状況から、集落は、幅16m程度の東西に伸びる幅の狭い尾根の平坦面に営まれていたことが確認された。Fig.33の通り、後期旧石器時代の集落の具体的な状況が明らかになりつつある。なお、集落は、さらに、西側に広がる可能性を含んでいる。

さて、第I調査区での成果も含めると、これまでのところ竪穴建物跡7基、道跡3条、炉跡2基、多数の杭跡が検出され、遺物の分布も西側拡張区近辺にまとまる傾向が看取られつつある。狭小な尾根の平坦部にこれだけの遺構が集中しているが、西側拡張区の竪穴建物跡、道跡、炉跡は、いずれも互いに切り合はない。このことから、この遺構群が同時に存在していた可能性が高いことを示唆するとともに、当時の人々が、集落の造営にあたって、選択的に場所を決定していた可能性を窺わせる。

今回検出された竪穴建物跡は5基が切り合っていた。4号竪穴建物跡と5号竪穴建物跡は、その主軸がほぼ一致することが判明した。炉跡については、1号炉跡、2号炉跡とともに、2基がほぼ同じ位置に重なるように切り合っており、遺跡も切り合いが確認された。土坑の可能性のある落ち込みと道跡との切り合いを除いては、調査した範囲では、異種の遺構間の切り合いが認められず、同種の遺構のみが切り合う状況を看取できた。これは、ここで生活した集団が、集落内の施設の配置を厳密に認識した上でその空間を意識的に利用し、記憶の範囲内で回帰的行動を行っていた結果も想定しうる。

国内の後期旧石器時代集落の研究は、遺構検出の困難性もあって、遺物の分布状況から「場」の機能を考察する方法が主体となっている。これまでのところ、当該期の遺構がこれほどまとまって検出された事例は国内ではなく、後期旧石器時代集落の研究を行う上で水追遺跡は貴重なモデルケースとなり得る。また、水追遺跡は、集落内の施設配置の状況ももとより、当時の行動様式についても考察できる情報を内包している。そうした意味においても、今後、日本の集落の起源を考える上で欠くことのできない極めて重要な遺跡の1つと考える。

後期旧石器文化から縄文文化への推移の中での位置づけ

第9層から掘り込まれた遺構は、固結した第14層を掘り構築されている。中でも、竪穴建物跡の掘削は、すべて第14層に達し、第14層を床面としている。固結した火山灰を掘って竪穴建物の築造が行われたことは、その施設が一時的なものではなく、一定期間機能することを意識したものであることを示唆している。竪穴建物跡が、居住のための施設であったと仮定すれば、縄文草創期からといわれる定住生活へ向かう時期にあるものと考えられ、定住への過渡期の集落と位置づけることができる。前掲の通り、水追遺跡では、縄文草創期、そして縄文早期の遺構群も検出されており、集落形態も含めて後期旧石器文化から縄文文化への変遷を追える可能性を秘めている。

ところで、旧石器時代から縄文時代へ劇的に文化内容の変化が起こったとは考えられず、水追遺跡の集落の評価については、先駆的に、かつ単純に旧石器時代の包括的な概念や縄文時代のそれにはめて行うことはできない。例えば、「定住・遊動」といった対立する概念のどちらかといった議論は、この調査の成果を解釈するにあたって大きな意味を成さない。むしろ、実相としては、「定住・遊動」の中間に設定する概念を用意すべきであろう。これに問うては、「半遊動型生活」といった概念も用意されてきている^⑩。今回の遺構群の在り方は、遺構の構築されたシーズナリティを明確にすることは困難であった。従って、現段階では「半遊動型生活」と断することはできない。例えば、ライフサイクルや何らかの理由である一定期間の間隔を置いて移動するライフスタイルを「回帰的定住」と仮称できるなら、水追遺

跡に残存している遺構群の状況は今のところこの解釈と調和的と見做せるかもしれない。

旧石器時代から縄文時代への大きな文化変化の時間単位とこのような集落存続期間という時間単位では、基本的なタイムスケールの相違を認める必要がある。水道遺跡の集落は、その大きな時代変化のある場所、ある時期の状況を示すものであって、これがすなわち、包括的な議論に安易に結びつくことは慎重にならざるを得ない。それでも、具体的な時代推移の過渡的な状況を垣間見ることができる希有な事例であることには間違いない。

(文責 下山)

(2) 縄文時代草創期～縄文時代早期への文化変遷について

水道遺跡の発掘調査により、縄文時代草創期から縄文時代早期への変遷段階の水道式土器が設定され、それによって、縄文時代草創期の隆帶土器を用いる文化と貝殻文系円筒形土器を用いる文化との比較やその系統を検討することができるようになった。今回の発掘調査では、特に、良好な隆帶土器が出土し、また、水道式土器、貝殻文系円筒形土器初源形態と考えられる岩本式土器が層位的に出土し、それら三者の系統論を展開できようになった。

今回の調査では、第7層から水道式土器の時期に該当する舟形配石炉が検出され、また、第6層から岩本式土器の舟形配石炉が検出された。このことから、南部九州では縄文時代草創期に見られる舟形配石炉が貝殻文系円筒形土器の段階まで継承していることが確認されたとともに、その両者の文化が断絶したものではなく、むしろ継承されていたことを示すものとして重要な成果を導き出したものと考えられる。

(文責 下山)

註

(1)「集落」については、江坂によって「人の住む場所を包括する生活舞台全般」とされているが(江坂輝彌 1983「集落論」「日本考古学小辞典」ニュー・サイエンス社)、ここでは、複数の居住可能な建物を含む施設が、集中して発見される範囲を指している。

(2) 渡辺仁 1990「縄文式階層社会」人間史叢11 六興出版

Chapter 4. Results of the survey

1 The discovery of the village in the latter period of Paleolithic period

2 pit-type buildings, a path and many stake marks of the latter period Paleolithic period were discovered in the excavation of 1999.
5 pit-type buildings, 2 paths and 2 fire pits were newly excavated.

It summarizes it about the result below.

Time of the features

Microblades and microcores that belong to the category of "the Nodake-Yasumiba type" are included mainly in the 9th layer.

Also, the backed blades and trapezes in the second half of the backedblade culture were excavated from the 9th layer.

However, it is not clear if these cultures belonged to the same time period.

Therefore we think that the belonging time of the features are the same as the second half of the backedblade culture in the latter period of Paleolithic period to the early period of the microcore culture in southern Kyushu.

Positioning of the Mizusako site in the village study of the latter period of Paleolithic period

7 pit-type buildings, 3 paths, 2 fire pits, many stake marks were discovered including the results from the 1st survey ward.

There are many features in the flat narrow space. However, Pit-type building, path and fire pit do not overlap at each other.

This suggests that it is possible that these features existed at the same time.

On the other hand, the features that were the same were remodeled.

We think that the group that lived here recognized the arrangement of the institution inside the community rigidly and they used the land consciously.

We think that they have returned to this place repeatedly, while they had the memory of Place that they lived.

In this case it is the first time to find many features from the latter period of Paleolithic period in one location.

Positioning in the middle of the change from the latter period of Paleolithic period culture to the Jomon culture.

Pit type buildings were dug into a hard volcanic ash.

This suggests that the pit type buildings were temporary buildings.

If the pit type building was a place of residence, we can position it with the village in the transitional stage to the settlement.

The features of the Incipient stage of the Jomon period and the Initial stage of Jomon period were discovered in the Mizusako site.

Therefore we think that the Mizusako site having features from two cultures can show us the change that took place from the latter period of Paleolithic period culture to the Jomon culture.

2 On the cultural change from the Initial stage of Jomon period to the Incipient stage in the Jomon period

The raised band design pottery is from the Incipient stage in the Jomon period of southern Kyushu. The raised band design pottery is included in the style of the Incipient Jomon pottery which is decorated with slender ridges. The raised band design pottery has a body diameter that is bigger than the diameter of the bottom.

The Iwamoto type pottery is positioned to be in the oldest stage among the cylindrical Jomon pottery group with shell-made decorations.

The changes in style of both potteries is quite distinct that it is difficult to understand how they evolved. This time Pottery that had the characteristic of 2 potteries of the raised band design and Iwamoto type potteries were excavated from the 7th layer of the Mizusako site.

We named this pottery the Mizusako type pottery. The next 2 kinds are forms of the Mizusako type pottery. Pottery where the rim has an inward curve and the body swells out slightly.

Pottery is of the cylindrical type. The shell design is attached to both. Also a notch is in the printed on the outer surface of the lithic part with the hinge part of a shell. The Mizusako type pottery with the inward curved rim and the body swell resembles the raised band type pottery.

We have been able to understand the changes of the style from the raised band design pottery to the Iwamoto type pottery clearly by the positioning of the Mizusako type pottery between both.

Namely, we suppose that we had changed from the raised band design pottery → <the mizusako 1 type pottery→ <the mizusako 2 type pottery→ <Iwamoto type pottery in the Ibusuki area.

Boat figured stone alignments of a fire place were discovered from the 6th layer (=the Initial stage of Jomon period) and the 7th layer (=the Incipient stage in the Jomon period). However boat figured stone alignments which had been discovered were considered to belong to the Incipient stage in the Jomon period, we detected that boat figured stone alignments were continued until the Initial stage of Jomon period from the discovery of the Misusako site.

水迫遺跡分析的調查報告編

水追遺跡 1号炉跡古地磁気測定

Detection The Trace of a Baking Process from the Red soil in Mizusako site by means of Paleomagnetism

西谷忠師 (秋田大学工学資源学部)

Tadashi Nisitani

菊山浩喜 (川崎地質株式会社)

Hiyoki Kikuyama

We sometimes find red soil in a site. However we find it difficult to determine whether the spot received the effect of a baking process. If the red soil received the effect of a baking process, Magnetic properties of that soil changed. We collected samples from two parts in Mizusako site; one from red soil and the other from non-red soil. Using Paleomagnetic method we showed that the red soil received the effect of a baking process.

1.はじめに

水追遺跡は鹿児島県指宿市のはば中央、標高126mの舌状台地末端部にある。この遺跡から後期旧石器時代（約1万5千年前）の集落が発見され、宿利原火山灰層を逆台形に掘りこんだ幅約50cmのはば円形の土壙から赤色の土と炭が検出された。

この調査の目的は古地磁気測定によって、この1号炉跡と思われる部分が実際に熱を受けているかどうかの判定を行う事にある。具体的な手法としては、同一層内の被熱が想定される部分と、隣接する被熱を受けない部分について、①残留磁化強度、②残留磁化方向、③残留磁化の安定性、④帯磁率の測定、比較検討を行い、対象部分の被熱の有無について判定を行った。

2. 試料

採集した試料は採取位置によって次のように分類できる。

- M1：1号炉跡を埋める擾乱された焼土（表層）と思われる箇所
- M2：炉の底面付近
- M3：炉の壁面付近
- M4：遺跡基底部の膠結の進んだ宿利原火山灰層（非焼土）
- M5：遺跡基底部の宿利原ローム層（非焼土）
- M6：炉の壁面最下部の焼土と思われる箇所

古地磁気測定のため、一辺約24mmの立方体状ボリカーボネイト製キューブを地中に打ち込んで試料採取を行った。現場での残留磁化方向を得るために、各試料の走向方向と、傾斜角度を記録する。但し、採取箇所の場所的な制約により、M1、M3、M6では定方位採取の為の採取器具が使用できず、キューブを直打ちしたので方位は概略値である。最終的に測定に用いることが出来た採取試料数はM1が1個、M2が17個、M3が3個、M4が6個、M5が24個、M6が1個の合計52個である。

なお、M1は擾乱を受けた土壤である可能性があるため、測定値は参考とする。また、上記M3、M6も方向が概略値であることから、得られた数値は参考とする。M4は宿利原火山灰層であり、M2、M5は宿利原ローム層であるため、明らかに物性が異なる可能性がある。ローム層が受けた熱の影響を見るには、熱の影響の無い同一ローム層との比較が望ましい。従って、本調査では炉の底面（M2）と遺跡基底部面の宿利原ローム層（M5）との比較を中心に検討を行う。

3. 自然残留磁化(NRM)測定

岩石や堆積物は一般にその中に鉄、チタン酸化物の強磁性鉱物を含んでおり、強弱はあるが磁気を帯びている。岩石や堆積物が自然界におかれた状態で保持している残留磁化のこと自然残留磁化(Natural Remanent Magnetism)といい、NRMと略称される。自然残留磁化は、その獲得機構によっていくつかの種類があるが、中でも加熱、冷却によって獲得される熱残留磁化(Thermo-Remanent Magnetism; TRM)は、方向が磁化獲得時の外部磁場方向と平行であること、強度は外部磁場強度が一定値以下の場合その大きさに比例し、他の残留磁化と比べても強度が強いこと、非常に安定であることなどの特徴を持ち、古地磁気学、考古地磁気学において最もよく用いられる残留磁化の一つである。

一般に窯跡や炉跡など熱的影響を受けた堆積物は、この熱残留磁化を獲得することによって残留磁化強度が大きくなり、残留磁化方向は加熱された時の地磁気方向を保持する傾向がある。同一層のうち熱的影響の無いことが明らかな部分の残留磁化強度、方向と比較することによって被熱の有無が判定可能である。

3. 1 自然残留磁化強度

sample	x (cm)	y (cm)	走向	傾斜	重量(g)	体積(cm ³)	J (10 ⁻² A/m)	伏角度(度)	偏角度(度)
M1 1号炉跡を埋める擾乱された焼土(表層)と思われる箇所									
1	115.0	328	N90E	90° 00'S	9.68	9.70	2.8	27.46	31.92
M2 1号炉跡の底面付近									
1	115.0	394	N90E	90° 00'S	9.68	9.70	2.8	27.46	31.92
2	107.0	325	N41W	11° 26'N	11.68	9.80	7.6	53.70	12.06
3	95.9	331	N40W	12° 00'N	11.23	9.73	24.6	37.87	3.29
4	92.7	331	N40W	12° 00'N	10.24	9.73	25.1	38.78	9.29
5	103.4	325	N40W	12° 00'N	11.93	9.73	10.8	50.37	6.41
6	90.0	290	N40W	0° 30'N	9.20	9.74	38.9	40.94	5.52
7	94.2	296	N40W	0° 30'N	8.42	9.54	20.7	33.92	3.02
9	97.7	296	N40W	0° 30'N	8.64	9.63	12.0	42.12	-1.35
10	101.3	293	N40W	0° 30'N	10.25	9.75	12.2	44.87	2.22
12	110.4	310	N35W	9° 20'N	11.12	9.73	6.0	69.64	-20.85
13	115.2	299	N35W	9° 20'N	10.56	9.65	18.3	46.64	0.25
14	110.8	337	N31W	9° 30'N	10.50	9.73	9.7	52.80	-1.45
15	115.5	328	N37W	3° 40'N	10.21	9.73	24.2	31.41	-1.86
18	108.6	239	N33W	5° 40'N	6.89	6.70	34.2	36.24	5.69
19	112.8	239	N33W	5° 40'N	9.23	9.70	40.7	35.11	13.05
20	115.8	234	N33W	5° 40'N	10.73	9.70	8.8	45.04	8.45
M3 1号炉跡の壁面付近									
1	118.1	479	N6E	53° 00'S	11.07	9.73	5.9	73.88	-9.80
2	116.4	443	N6E	64° 10'S	9.30	9.70	4.1	56.95	-5.05
3	113.7	405	N6E	52° 00'S	9.04	9.63	3.8	58.62	-47.94
M4 1号炉跡基底部の膠結の進んだ宿利原火山灰層(非焼土)									
1	72.0	86	N89W	9° 30'N	8.16	9.52	45.1	44.97	-1.82
3	68.2	121	N76W	2° 40'N	8.34	9.73	23.3	56.40	-4.64
4	71.4	154	N76W	2° 40'N	5.74	8.34	4.8	52.12	-0.43
9	77.9	130	N81W	9° 50'N	7.27	7.78	8.4	53.09	3.85
M5 1号炉跡基底部の宿利原ローム層(非焼土)									
1	121	145	N46W	4° 10'N	12.07	9.73	11.9	60.24	7.96
2	160	145	N46W	4° 10'N	11.00	9.63	6.8	67.12	-4.21
3	192	148	N46W	4° 10'N	10.54	9.60	25.3	55.36	-3.09
4	224	142	N46W	4° 10'N	11.28	9.50	15.3	65.45	5.79
5	260	142	N46W	4° 10'N	11.96	9.73	11.3	59.44	7.76
6	293	142	N46W	4° 10'N	11.40	9.63	21.8	52.59	-0.60
7	10.1	20.4	N41W	5° 40'N	7.08	4.87	7.2	66.05	4.50
8	13.9	20.7	N41W	5° 40'N	10.14	9.63	8.6	60.20	-4.44
9	17.5	20.1	N41W	5° 40'N	11.64	9.60	6.9	64.03	-6.60
10	20.8	20.1	N41W	5° 40'N	10.19	9.73	13.0	52.39	0.57
11	24.2	19.5	N41W	5° 40'N	12.10	9.73	12.8	60.87	0.27
12	27.5	19.5	N41W	5° 40'N	11.78	9.73	14.5	58.30	2.57
13	19.6	24.5	N39W	7° 30'N	11.57	9.70	12.0	72.86	-1.11
14	22.8	23.9	N39W	7° 30'N	10.70	9.70	9.0	64.98	5.64
15	26.4	23.9	N39W	7° 30'N	11.69	9.68	6.5	70.04	-19.39
16	29.3	23.4	N39W	7° 30'N	12.37	9.70	5.4	71.67	-18.83
17	32.9	23.4	N39W	7° 30'N	11.55	9.70	5.0	73.44	-17.31
18	35.8	23.1	N39W	7° 30'N	9.73	9.64	15.4	60.88	-3.63
19	35.8	26.0	N50W	1° 30'N	10.61	9.73	9.6	60.10	6.57
20	39.1	26.3	N50W	1° 30'N	10.83	9.73	6.3	74.61	8.16
21	42.0	26.6	N50W	1° 30'N	10.91	9.70	5.1	71.27	-16.12
22	45.6	27.2	N50W	1° 30'N	10.60	9.73	24.0	46.15	-5.28
23	49.1	27.5	N50W	1° 30'N	9.80	9.70	29.8	49.44	-6.55
M6 1号炉跡表面最下部焼土									
1	112.8	396	N6E	0° 00'S	11.05	9.65	7.3	58.73	16.41

(注) Jは自然残留磁化強度、偏角は真北を0度とし、東偏をプラス、西偏をマイナスで表示する。

水道跡の位置は、北緯31.25度、東経130.60度。地磁気伏角44.20度。地磁気偏角-5.70度である。

xは北西方向への距離、yは南西方向への距離で適当な場所を原点に選んである。

Tab.1 試料採取位置と自然残留磁化強度

Positions of the sample and natural remanent magnetization intensity

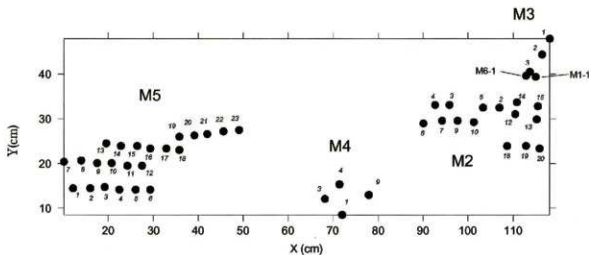


Fig.1 試料採取位置
Positions of the sample

試料をスピナー磁力計(夏原技研製)で測定する。得られた残留磁化強度三成分を現場で記録した採取試料の走向傾斜を用いて座標変換を行い、試料採取位置での自然残留磁化強度と方向を求める。得られた結果をTab.1に示す。試料の番号が連続でない部分は、試料がない、あるいは、キューブの変形、キューブ内での試料の回転など、物理的原因で測定できなかった試料である。相対的な距離を知るために、全採集試料が含まれるような範囲を適当に決め、北西方向を+ x 方向、南西方向を+ y 方向に設定した。センチメートル単位で試料の距離を示してある。

採集した試料の位置関係を示したのがFig.1である。この図には自然残留磁化を測定した試料のみ黒丸で番号と共に表

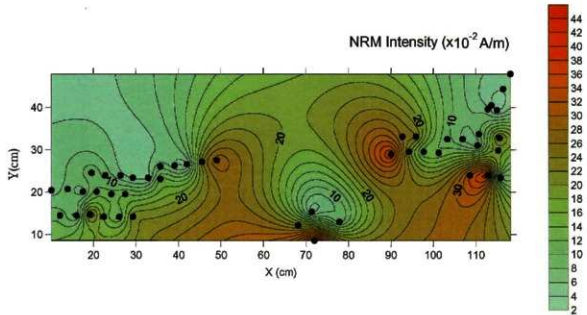


Fig.2 自然残留磁化強度分布
Range of natural remanent magnetization

示してある。M2、M3付近が1号炉跡である。この図で試料の相対位置は正しく示されている。

測定した全試料の自然残留磁化強度を平面的な分布として示したものがFig.2である。

自然残留磁化強度はM2～M3の1号炉跡付近がM5の非焼土ローム層付近に比べて相対的に大きい傾向が見える。各サイト毎に平均を求めて示したのがTab.2である。ここでは特にM2(1号炉跡底面と思われる部分)とM5(宿利原ローム層)に注目する。

M2サイトの平均は $19.6 \times 10^{-2} \text{ A/m}$ であり、被熱の影響を全く受けていないと思われるM5サイトの平均は $12.3 \times 10^{-2} \text{ A/m}$ である。

2A/mである。自然残留磁化強度は1.6倍の差があり、この差は、磁性鉱物の量に差がある場合、あるいは熱の影響がある場合に生ずると考えられる。比較の対象となっているM2、M5は同じローム層であるため磁性鉱物の量は両者ともほぼ同様と考えられる。従って、自然残留磁化強度に1.6倍の差を生じさせたのは被熱の影響によることが考えられる。

3. 2 残留磁化方向

火山岩などが生成される際、または炉やたき火など人為的に岩石や堆積物が加熱を受ける際には、含まれる磁性鉱物の磁化が消失する温度であるキュリー点（磁鉄鉱で578°C）以上に熱せられ、冷却する過程で残留磁化方向はその時の地磁気方向を記録する。熱を受けていない場合には堆積時に持っていた堆積当時の地磁気方向がそのまま保存される。地層の堆積時期と熱を受けた時期が異なっていれば、地磁気方向は常に変動しているため残留磁化方向に違いが見られると予想できる。従って、残留磁化方向を調べ、熱を受けていない同一層の磁化方向と差があれば被熱の影響があったことが考えられる。しかし、被熱の影響と結論づけるためには試料採取地点が後の時代に傾動作用、擾乱作用を受けていないことが前提条件となる。熱を受けた後、そのままの状態で保存されていることが保証されていなければならない。

また、たとえ熱を受けた後に何ら擾乱作用を受けていないくとも、地球磁場は常に変動しているため2次的な磁化成分を獲得し、残留磁化方向が粘性的に変化することもある。このため、見た目には試料採取地点が擾乱を受けていないように見えても、獲得している残留磁化は変化を受けている場合がある。これをチェックする手段が交流消磁である。交流消磁は無磁場中で試料をランダムに回転させ、ある強さの交流磁場を試料に加え、磁場をゼロまで下げる操作で、交流磁場を増加させながら同様の操作を繰り返し行う。もし、2次的な磁化成分が含まれているならば、比較的弱い交流磁場でのその成分は消去されることとなる。交流消磁は全ての試料で行った。これらの結果は、最後に付表として示す。

Fig.3はこのうち1号炉跡底面から採取した試料のうちの一つ(M2-3)の交流消磁の結果である。

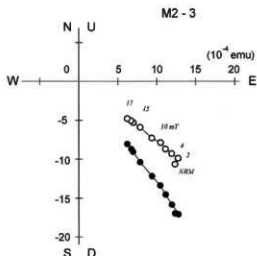


Fig.3 M2-3の交流消磁による変化傾向
Decrease tendency of magnetization of M2-3 by alternating field demagnetization

Fig.3で黒丸は磁化方向を水平面に投影したもの、白丸は磁化方向を垂直面に投影したものである。交流磁場を次第に強くするに従って磁化成分は減少し、その減少する方向が原点に向かっていることが明らかである。もし、試料が被熱後に地磁気方向の変化に伴う2次的な磁化成分を獲得していない場合、段階的な交流消磁による磁化成分の減少に従い、直線的に原点へ向かう。また、安定な残留磁化を獲得している試料であれば、交流磁場強度を強くしても残留磁化強度の減少は少ない。

Fig.3のM2-3の場合、NRMから2mTで交流消磁した際、わずかに残留磁化方向が変化していることがわかる。しかし、この変化は極めて小さく、ほとんど二次の成分は存在しないと考えて良い。また段階的に交流磁場強度を強くしても、残留磁化の減少は緩やかであり、獲得している残留磁化は安定なものであることが分かる。Fig.4は試料M2-6（1号炉跡底面）、Fig.5は試料M5-10（宿利原ローム層）の交流消磁の結果である。

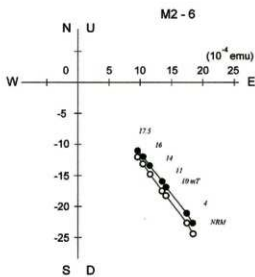


Fig.4 M2-6の交流消磁による変化傾向
Decrease tendency of magnetization of M2-6 by the alternating field demagnetization

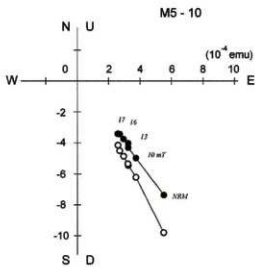


Fig.5 M5-10の交流消磁による変化傾向
Decrease tendency of M5-10 by alternating field demagnetization

Fig.4、Fig.5には二次的磁化成分は全く現れていない。ほぼ直線的に原点に向かって減少していることから、記録されている磁化成分は後の時代に擾乱作用を受けていないと考えられる。図には示さないが、他の試料も全て直線的に原点に向かう傾向を示している。

これらの結果から、被熱後の二次的磁化成分の獲得はわずかであり、残留磁化方向を特定するためには自然残留磁化の磁化方向を使っても、交流消磁を行った後の磁化方向を使っても同じとなる。ここでは、自然残留磁化方向を試料の記録していた残留磁化方向と考える。

Fig.6にサイトM2（1号炉跡底面）の残留磁化方向をシムミット円に投影したものを示す。

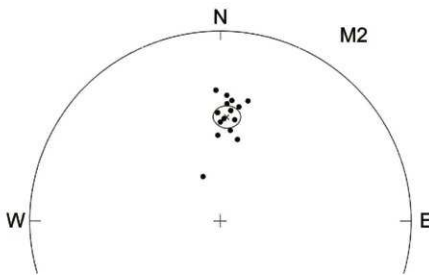


Fig.6 サイトM2の残留磁化方向
Direction of remanent magnetization on site-M2

各測定試料の磁化方向を黒丸で、平均の磁化方向を×印で示してある。平均の磁化方向は伏角44.10度、偏角3.77度である。同時に表示してある楕円は95%信頼区間で、95%の確率で真の磁化方向がこの楕円の中に入る範囲を示しており、楕円の大きさが小さいほど測定値の信頼性が高いことを表す。M2の95%信頼区間は5.18度であるため、平均の伏角、偏

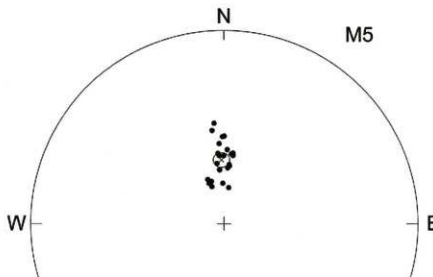


Fig.7 サイトM5の残留磁化方向
Direction of remanent magnetization on site-M5

角は非常に信頼できる数値であることを示している。

同様にサイトM5（宿利原火山灰層）の残留磁化方向をFig.7に示す。

サイトM5の場合も同様に平均の磁化方向、伏角62.71度、偏角1.85度(西偏)を×印で、95%信頼区間を楕円で示してある。M5サイトの95%信頼区間は3.26度とM2の場合より信頼性が高い。他のサイトの平均磁化方向は表3に示しておく。表3には精密度パラメータも示してある。精密度パラメータ(*k*)は信頼性を示す別のパラメータで、値が大きいほど信頼性が高いことを示している。サイトM4（宿利原火山灰層）の*k*が大きい値を示すが、現場採取時にキューブが変形し

たり、キューブ内に半分以上空間があったり、必ずしも良好な状態で採取された試料とは考えられない。宿利原火山灰層が非常に硬くボリカーカーボネート製のキューブの打ち込みに無理があったことが原因と思われる。試料数が少ないため、計算によるkの数値が大きても、現場の状況、試料の状態を考えて、M4の測定値をそのまま採用することは問題があると判断した。M2、M5に関しては測定試料数も十分であり、95%信頼区間も小さいことから残留磁化方向の信頼性は

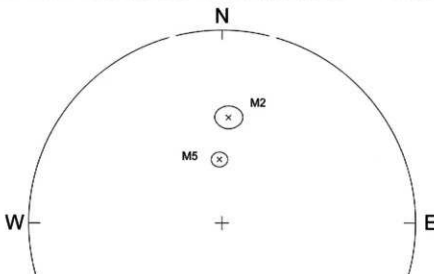


Fig.8 M2、M5の平均磁化方向と95%信頼区間
Average direction of remanent magnetization and 95% confidence level on site-M5.M2

極めて高いと言えるだろう。

サイトM2、M5の結果を同時に示すとFig.8となる。

Fig.8に示されたM2とM5の平均残留磁化方向は誤差を考慮しても明らかに異なっている。試料採取現場の状況からもM2、M5共に後の時代に傾動・変形作用が加わったとは考えられない。従って、残留磁化方向がM2とM5で異なることは、1号炉跡底面とされるM2サイトが被熱の影響を受けて宿利原ローム層の残留磁化方向が変化したと考えられる。

3. 3 磁化の安定性

一般に加熱されると残留磁化はより安定になり、外部からの変動に対して影響を受ける割合が少なくなる。安定の度

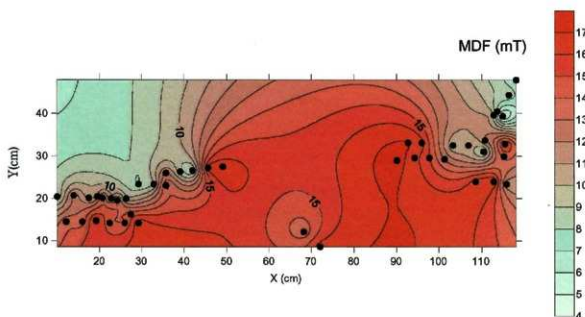


Fig.9 残留磁化の安定性 (MDF) 分布
Range of stability of remanent magnetization (MDF; medium distractivefield)

合いを堅さと表現することがある。安定性を見るには交流消磁を行うことが適当である。数値的に安定性の目安を得るため、最初に保持していた磁化強度が交流消磁により半分に減少する時の磁場強度をMDFと定義する。MDFの数値は大きい方が安定である。MDF値の一覧をTab.4に示しておく。これらの数値を平面的な分布として表現したのがFig.9である。

1号炉跡底面・宿利原ローム層・宿利原火山灰層のいずれも高いMDFを示している。サイト毎に平均した数値をTab.5に示す。特に注目したい1号炉跡底面(M2)、宿利原ローム層(M5)の平均はそれぞれ 14.12 ± 3.03 mT、 12.52 ± 2.98 mTであり、いずれもほぼ同程度の高い安定性を示していることがわかる。残留磁化強度の安定性については、被熱が想定される部分とそうでない部分で差異は認められなかった。宿利原火山灰層は、噴出源に近いため、安定な残留磁化を獲得することのできる強磁性鉱物が多数含まれておらず、ローム層においてもその傾向は同様であることが予想される。このため、堆積時からすでに十分安定な残留磁化を獲得しており、安定性に関してその後の被熱の影響は少なかったことが考えられる。

4. 帯磁率

熱の影響を受けているかどうかの判断には、帯磁率を用いることも可能である。一般に加熱により地層中に含まれる磁性鉱物に変化が生じるため、一般に帯磁率は高くなる傾向がある。現場での帯磁率測定値をTab.6に示す。測定にはBISON Instruments社製model 3101A帯磁率計を使用し、直径約15cmのセンサーを直接測定面にあてて測定を行った。Tab.6では測定した位置を特定するため、センチメートル単位でx, yを示してある。位置の比較を容易にするためx, yの原点は表1の原点と同じに設定した。

Tab.7には、1号炉跡、宿利原ローム層、宿利原火山灰層の3つに分類して、それぞれの帯磁率の平均値を示す。いずれも $300\sim600 \times 10^{-6}$ (emu/cm³)程度で、堆積物としては非常に高い値を示している。1号炉跡は周辺の宿利原ローム層と比較して1.2~1.3倍程度高い帯磁率を示しており、このような傾向は、1号炉跡が被熱の影響を受けている可能性を示している。

5. まとめ

古地磁気的手法を用いて、炉跡と思われる地点に被熱の影響が認められるか検証を行った。その結果、

- (1) 宿利原ローム層(M5)に比べて1号炉跡底面(M2)の自然残留磁化強度が1.6倍大きい
- (2) 宿利原ローム層(M5)と1号炉跡底面(M2)の残留磁化方向が異なる
- (3) 獲得されている残留磁化は非常に安定である
- (4) 宿利原ローム層と比較して1号炉跡の現地測定帯磁率が1.2~1.3倍大きい

ことを明らかにした。1号炉跡はこれらの測定結果から見る限り、被熱の影響を受けていることが考えられる。

6. 最後に

本調査で実施した、古地磁気学的手法を用いた遺構の被熱の有無についての検証は、まだ事例が少なく十分な成果が得られるか不安もあったが、複数の測定項目で同様に被熱の影響を受けた可能性を示す結果を得ることが出来た。

考古学の分野において、古地磁気学は主に年代測定の一手法として利用してきた。しかし古地磁気学的手法は、この他にも本調査で行った被熱の状況、あるいは遺構、遺物の攪乱、移動について検討する手がかりとなるなど、さまざまな応用の可能性がある。今後も様々な側面から、古地磁気の考古学の分野での適用を考えていきたい。

サイト	平均数	自然残留磁化強度(10 ⁻² A/m)
M1	1	28
M2	15	19.6 ± 11.5
M3	3	4.6 ± 1.1
M4	4	20.4 ± 18.3
M5	23	12.3 ± 7
M6	1	7.3

Tab.2 自然残留磁化強度一覧
Average natural remanent magnetization intensity

サイト	試料数	伏角度(度)	偏角度(度)	a 95	k
M1	1	27.46	31.92	—	—
M2	15	44.1	3.77	5.18	55.37
M3	3	64.57	-22.46	22.21	31.86
M4	4	51.68	-0.73	5.98	237.42
M5	23	62.71	-1.85	3.26	87.33
M6	1	58.73	16.41	—	—

(注) 偏角は真北基準の偏角である。a 95%は95%信頼区間、kは精密度パラメータである。

Tab.3 平均残留磁化方向
Average remanent magnetization direction

	試料	x(cm)	y(cm)	MDF(mT)
M1	1	115	39.36	4.24
M2	2	105.95	32.51	16.55
	3	85.99	33.11	16.11
	4	82.68	33.11	17.1
	5	102.36	32.31	16.05
	6	80.04	28.97	17.62
	7	94.24	29.36	16.23
	9	87.72	29.36	15.11
	10	101.32	29.26	12.91
	12	110.44	31.03	8.29
	13	115.24	29.86	14.25
	14	110.8	33.7	12.1
	15	115.48	32.81	16.58
	18	108.64	23.94	16.40
	19	112.84	23.94	17.18
	20	115.84	23.35	11.2
M3	1	118.12	47.88	6.87
	2	116.44	44.34	8.81
	3	113.68	40.49	7.82
M4	1	72.04	8.57	16.55
	3	68.2	12.12	13.24
M5	1	12.12	14.48	13.79
	2	15.95	14.48	13.33
	3	19.7	14.75	16.54
	4	22.44	14.18	14.05
	5	26.04	14.18	12.88
	6	29.26	14.18	16.7
	7	30.68	20.4	8
	8	13.92	20.69	12.54
	9	17.52	20.1	10.59
	10	20.76	20.1	14.8
	11	34.24	19.51	14.56
	12	27.48	19.51	14.58
	13	19.95	24.53	10.9
	14	22.8	23.84	10.41
	15	26.4	23.04	16.07
	16	29.95	23.35	8.09
	17	32.88	23.35	8.7
	18	35.76	23.06	14.31
	19	35.76	36	12.31
	20	39.12	26.3	9.36
	21	42	26.6	7.59
	22	45.6	27.19	16.55
	23	49.08	27.49	16.5
M6	1	112.84	39.6	10.71

Tab.4 磁化の安定性
Stability of remanent magnetization(MDF;medium distractive field)

サイト	平均数	平均(mT)
M1	1	4.24
M2	15	14.12 ± 3.03
M3	3	7.84 ± 1.37
M4	2	14.9 ± 2.34
M5	23	12.52 ± 2.98
M6	1	10.71

Tab.5 磁化安定性MDFの平均
Average of remanent magnetization stability(MDF;medium distractive field)

x(cm)	y(cm)	帯磁率 (10 ⁻⁶ emu/cm ³)	位置
26	-23.6	378	宿利原ローム層（基底部）
34	-19.2	342	宿利原ローム層（基底部）
77	-5	366	宿利原ローム層（基底部）
87	-15	330	宿利原ローム層（基底部）
76	18.8	376	宿利原ローム層（基底部）
104.6	18.3	375	宿利原ローム層（基底部）
90.3	10.5	448	宿利原火山灰層（基底部）
122.2	-6.2	330	宿利原火山灰層（基底部）
80	25.8	444	炉跡（底部）
87.5	26.6	456	炉跡（底部）
90.6	16.8	472	炉跡（底部）
95	26.3	404	炉跡（底部）
101.4	26	418	炉跡（底部）
105	36.9	568	炉跡内擾乱焼土（上部）
83.8	45.3	421	宿利原ローム層（上部）
105.5	43	396	宿利原ローム層（上部）
107	60.4	460	宿利原ローム層（上部）
112	40.2	463	宿利原ローム層（上部）
117.6	34.2	426	宿利原ローム層（上部）
-	-	566	炉跡内擾乱焼土（トレンチ壁面）
-	-	530	炉跡内擾乱焼土（トレンチ壁面）
-	-	520	炉跡内擾乱焼土（トレンチ壁面）
-	-	400	宿利原ローム層（トレンチ壁面）
-	-	344	宿利原ローム層（トレンチ壁面）
-	-	484	宿利原ローム層（トレンチ壁面）
-	-	494	宿利原ローム層（トレンチ壁面）
-	-	464	宿利原ローム層（トレンチ壁面）

(注) 測量x,yの基点は表1の基点と同じである。

SI単位に変換するためには上記の値に4πを掛けねばよい。

Tab.6 現場で測定した帯磁率一覧
Susceptibility measured in site

測定位置	平均帯磁率 (10 ⁻⁶ emu/cm ³)
炉跡（底面）	438.8 ± 27.70
宿利原ローム層（基底部）	368.1 ± 38.14
炉跡（上部）	568
宿利原ローム層（上部）	433.2 ± 28.24
炉跡（トレンチ壁面）	538.67 ± 24.19
宿利原ローム層（トレンチ壁面）	437.2 ± 63.65
宿利原火山灰層（基底部）	389 ± 83.44

Tab.7 現場で測定した帯磁率の平均
Average of susceptibility measured in site

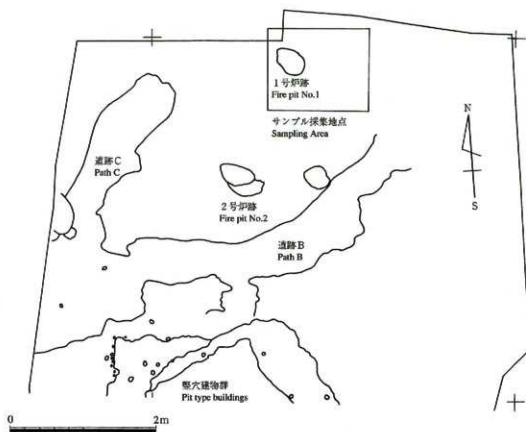
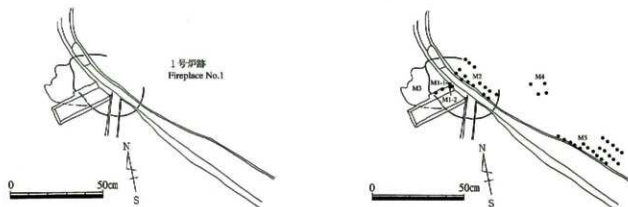


Fig.10 第9層構造配置図(北側半分)(S=1/50)
Position of the north half of structural remains in the 9th layer



水迫遺跡の地質

On the result of the Geological Detection of the Mizusako archaeological remains

成尾英仁 (鹿児島県立博物館)

Hidehito Naruo

In the Mizusako site located on northern hills of Ibusuki city, there are sediments of tephras which are different from their origins and chronology. We can divide them into six.

- 1) Mt. Kaimondake
- 2) Ikeda Caldera
- 3) Kikai Caldera
- 4) Ibusuki volcanic range (Ata Caldera)
- 5) Volcano Sakurajima
- 6) Aira Caldera

Chronologies of each tephras are as follows ;Ikeda Caldera: 5700yBP, Kikai Caldera: 6,300yBP, Iwamoto volcanic Ash (origin of Ata caldera): 13,000-14,000yBP, Yadoribaru tephra (origin of Ata Caldera) : 37,000yBP, Ata-Yadoribaru tephra: 37,000yBP and Ata-Kiyomidake tephra: 53,000yBP.

1. 地形と火山噴出物の概要

水迫遺跡周辺の地形は指宿火山群の山裾にあたる丘陵地帯で、標高約100mのなだらかな台地状となっている。内部には南西方向から北東方向へのびる深さ20~30m、幅200~300mの比較的深い谷が何本か走っている。遺跡はこの丘陵の付け根付近に相当し、東傾斜する台地の上に立地している。

本遺跡に堆積する火山噴出物（以下テフラとよぶ）は、（1）開聞岳、（2）池田カルデラ、（3）鬼界カルデラ、（4）指宿火山群（阿多カルデラ）、（5）桜島火山、（6）始良カルデラの6つに区分できる（Fig.1）。このうち指宿火山群起源のテフラは、時代の異なる岩本火山灰と阿多-宿原テフラ、阿多-清見岳テフラの3つからなる。

それぞれのテフラは降下堆積物もしくは火碎流堆積物からなり、降下堆積物は旧地形を平行に覆って堆積するが、遺跡が緩斜面に立地するため堆積後の削削作用や再堆積作用を受けていることもある。

それぞれのテフラの年代は、池田カルデラ起源テフラが約5,700年、鬼界カルデラ起源のテフラが約6,300年、桜島火山起源テフラが約11,000年前、阿多カルデラ起源テフラ（阿多-宿原テフラ）が37,000年前、清見岳テフラが約53,000年前である。

2. テフラ

（1）開聞岳起源テフラ



Fig.1 水迫遺跡と噴出源の位置関係
The position of the Mizusako and vents

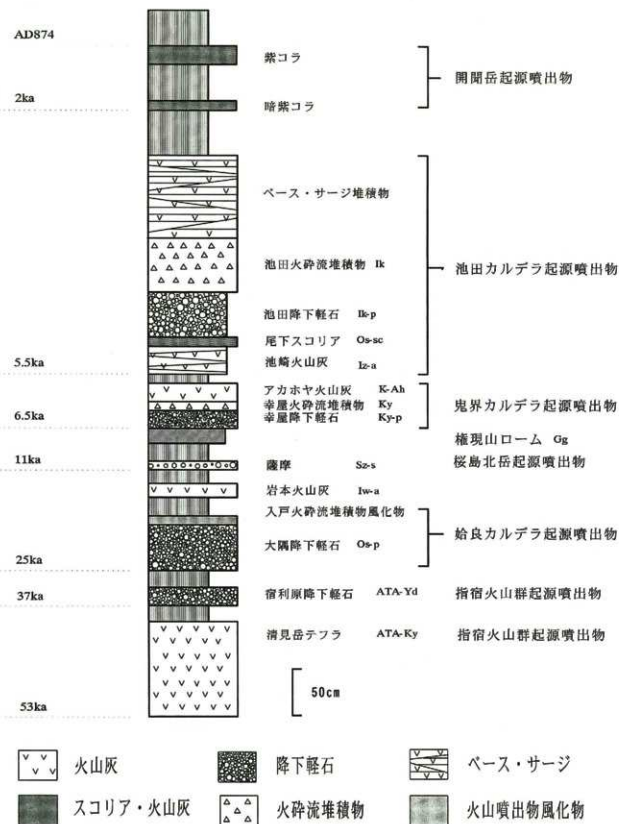


Fig.2 水道遺跡のテフラ柱状図
The columnar section of tephra layers in the Mizusako-site

地表面から30~50cm下位にある火山灰と、さらにその約30cm下位にあるややルーズな火山灰の2層からなる。上位の火山灰は厚さ約15cmあり、きわめて硬質な細粒火山灰で明紫色を帯びる。内部は細粒な火山礫で充填され、特徴的に植物のキャストを含んでいる。下位の火山灰は厚さ約8cmで、黒ずんだ紫色を帯びている。内部は最大8mm程度の角張った墨灰色火山礫で充填されている。

これらのテフラはその層準と特徴から、上位が開聞岳の貞觀16年（AD 874年）噴出物の紫コラに、下位が弥生時代中期噴出物の暗紫コラに対比される（成尾1984、成尾ほか1997）。

（2）池田カルデラ起源テフラ

開聞岳テフラの約80cm下位には火山灰やスコリア、降下軽石、火碎流の堆積物が堆積するが、これらは堆積物の特徴とカクセン石を含む氷柱組成から、池田カルデラ起源のテフラに対比され、下部から池崎火山灰、尾下スコリア、池田降下軽石、池田火碎流堆積物の4層に区分される（成尾・小林1984）。

①池崎火山灰

厚さ約10cmで、淡黄褐色～黃白色を帯びた火山礫混じりのシルト質火山灰である。火山礫は径4~5mm程度の安山岩片が主で、まれに花崗閃綠岩片などが認められる。火山灰や火山礫は厚さ数cm~数mmの細かい成層構造をつくっている。下位に堆積する黒色腐植土との境界は緩やかに波打っており、比較的頻繁に下位の層に垂れ下っている。

②尾下スコリア

本遺跡に堆積する尾下スコリアは粒径2~3cmの角張ったもので、塊状の緻密なスコリアとなっており、それらが池崎火山灰の上に一列になって堆積している。全体に黒灰色をした安山岩質で、1~2mm大の白色の斜長石が点在する。

③池田降下軽石

亜角～角礫状の角張った白色の軽石からなる。全体に淘汰が良く粒が揃っているが、下部は径が小さく上部ほど大きくなる逆成層構造が認められる。下部の軽石の径は最大3cm程度であるが、中部では最大15cmに達する。また、岩片は板状もしくは塊状をした安山岩質岩石で、最大7cm程度である。軽石にはカクセン石がよく目立っている。

④池田火碎流堆積物

白色～淡桃色をおびた火碎流堆積物で、基質の粒度の違いや軽石片の粒径の違いで、弱い成層構造を形成し、いわゆるベース・サージ状の堆積物となっている。

下部は厚さ最大1m程度で、淡桃色を帯びた粗粒の火山灰の間に径1~3cmの軽石が層状に点在し、全体として弱い成層構造をつくっている。中部は5mm前後の火山豆石を含む黄色火山灰層からなり、内部は細かく成層している。下部と中部の間は中～粗粒砂、軽石片からなるルーズな層で、厚さは約60cmで明瞭なラミナ構造がある。

上部は厚さ3cmの明瞭な黄色火山灰層から始まり、その上に細かく成層した細粒火山灰、軽石細片の互層が堆積している。全体の厚さは最大約80cmである。

（3）鬼界カルデラ起源テフラ

池田カルデラ起源テフラの下位には、厚さ約15cmの真黒色を帯びた腐植土があり、さらにその下位に厚さ数十cmのテフラがある。下部から降下軽石、火碎流堆積物、火山灰の大きさ3層からなるが、これらは層準と含まれる氷柱、褐色バブルウォール型火山ガラスの存在から、鬼界カルデラ起源の幸屋降下軽石、幸屋火碎流堆積物、鬼界アカホヤ火山灰に相当する（宇井1973、町田・新井1978）。いずれも白色～淡灰色を帯び、他地域で認められるような黄褐色はしていない。

①幸屋降下軽石

径5mm以下の軽石が詰まった厚さ約10cmの軽石層で、まれに径1cm程度の軽石が点在する。軽石はいずれも角張っている。淘汰は比較的良好であるが、細粒な軽石が多く全体に砂状でサラサラしており、岩片はほとんど含まれない。

②幸屋火碎流堆積物

ガラス質の火山灰よりなる基質中に、拳大以下の軽石が多数点在する塊状の火碎流堆積物である。軽石の粒径は最大で10cm程度である。火碎流堆積物の最下部には川砂状の堆積物が存在するが、これは火碎流堆積物のグランドレイヤー層に相当する。全体の厚さは20~50cmと場所により変化する。

③鬼界アカホヤ火山灰

下部にはウズラ卵大以下の軽石片が堆積し、上部では軽石片は徐々に細粒となりガラス質の粗粒火山灰に連続する。軽石層の中には径1cm以下の火山豆石が点在する。火山灰は下部ほど細粒で、上部では細粒となる。軽石層は約5cm、火山灰層は10~15cmの厚さである。細粒な火山灰に連続して黒色腐植土が堆積する。

鬼界カルデラ起源テフラの下位には、濃いベージュ色を呈する風化したシルト質の土壤で、全体に波状にうねったり球状の固まりになる土壤が堆積する。岩片や軽石片は含まれない。この層は「推進山ローム」と呼ばれて県内の広い範囲に堆積しているが、これは火山性土壤では無く森林性褐色土壤の可能性があり、検討の余地が残されている。

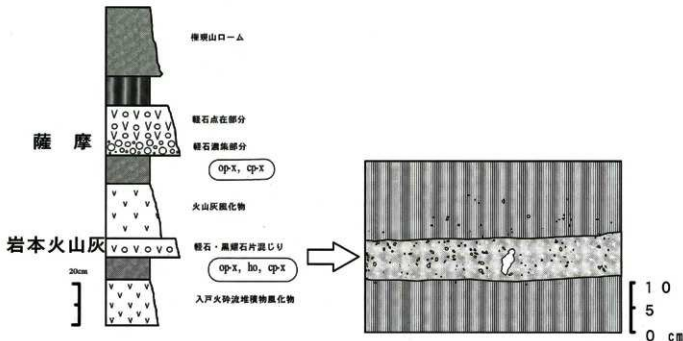


Fig.3 岩本火山灰層 (左: 薩摩との層位関係 右: 軽石の層内分布状態)

The Iwamoto volcanic ash layer (left : The stratigraphical relationships with the Satsuma fall pumice, right : The position of distribution of the Satsuma fall pumice)

(4) 桜島火山起源テフラ

風化してオレンジ色を帯びた軽石で、大きさは最大約3cm、平均では5~1cmである。ほとんどの地点で黒色腐植土中に点在して堆積する。この軽石は本遺跡から北方へ向かうにつれ厚さと粒径が増していること、鬼界カルデラ起源のアカホヤと岩本火山灰との間にあることなどから、桜島火山起源の薩摩(町田・新井1992)に対比される。

軽石を含む黒色腐植土の下位には、黄褐色を帯びた粘質の強いロームが15~20cmの厚さで堆積している。本遺跡外では黒色腐植土層の下位には、いわゆるチョコ層と称される黒茶色ロームがある。

(5) 岩本火山灰

黒茶色ローム層内には黄白色火山灰が挟まっている。南側調査区域では黒茶色ローム層内に軽石や黒耀石片が点在する不鮮明な層となっているが、北側調査区では厚さ10cm程度の明瞭な層を形成して堆積する (Fig.3)。

北側調査区での観察では下部にある厚さ2cm程度の細粒火山灰層と、上部にある厚さ5~8cm程度で軽石や風化岩片、黒耀石片を含む細粒火山灰層の2層に区分される。

下部の火山灰層とその下位にある黒茶色ローム層との境界は明瞭で、火山灰層内には軽石等は入っていない。上部の火山灰層に入る軽石は未風化で白色のものと、風化して黄白色を帯びたものとがある。軽石は最大5cm、平均1cm程度で、火山灰層内に点在している。風化岩片は安山岩質のもので最大1cm程度あり、全体に灰色~黒灰色を帯びている。黒耀石はやや質の悪いものであるが、肉眼で見える程度の結晶などは含まれず明瞭なガラスのみである。

この火山灰層には特徴的にカクセン石が入っており、このような特徴と層準から県本土の広い範囲で認められる岩本火山灰(成尾1992)に対比される。

(6) 始良カルデラ起源テフラ

黒茶色ローム層の下位には、黄白色～黄橙色風化火山灰層と降下軽石層がある。風化火山灰層には透明なバブルウォール型火山ガラスが大量に入っていること、および層準などから始良カルデラ起源テフラに対比される。

上部の風化火山灰層はガラスの特徴などから、いわゆるシラスと称される入戸火砕流堆積物の再堆積物、下部の降下軽石層は大隅降下軽石（Kobayashi et al.1983）に対比される。

入戸火砕流堆積物の再堆積の火山灰層は厚さ約10cm程度で、全体に硬質の細粒火山灰となっている。大隅降下軽石は鮮やかな黄橙色を帯びており、最大で3cm程度の亜円～亜角の軽石がぎっしりと詰まっている。岩片はそれほど多くなく、大きさも最大で5mm程度である。厚さは場所により変化するが、最大50cm程度である。

(7) 阿多－宿利原テフラ

始良カルデラ起源テフラの下位には厚さ十数cmの明赤褐色ローム層が堆積し、さらにその下位に厚さ十数～40cm程度の火山噴出物層がある。火山噴出物は下部の細粒火山灰層と上部の軽石層との2層に区分できる。下部はやや黄橙色を帯びた繊維の硬質火山灰と青灰色を帯びた細粒火山灰からなり、上部は軽石を多量に含む黄褐色細粒火山灰と軽石となる。軽石は鮮やかな黄橙色を帯び、最大2.5cm程度の大きさである。この層は層準から阿多－宿利原テフラ（奥野ほか1995）に対比される。噴出源についてはよく分かっていない。

(8) 阿多－清見岳テフラ

阿多－宿利原テフラ層の下位には黄褐色のローム層が20～30cmの厚さで堆積し、その下位には青灰色の中～粗粒の硬質火山灰が堆積している。この火山灰は塊状で成層構造などは認められない。きわめて硬質であり、遠距離外の崖では数mの厚さで堆積している。

このテフラは層準と野外での火山灰の特徴から、指宿火山群のうち清見岳を起源とする阿多－清見岳テフラ（奥野ほか1995）に対比される。

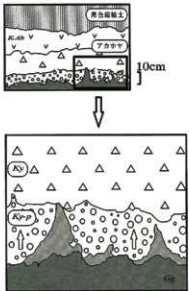


Fig.4 幸屋降下軽石層下部の波状構造
The ware structure in the bottom of the Koya fall pumice layer

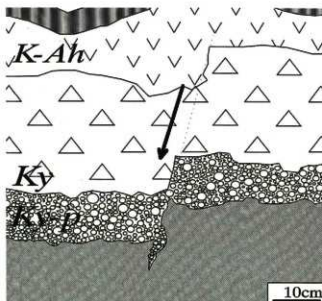


Fig.5 南側調査区内の正断層
The fault in the west extend area

3. テフラ中に見られる諸現象

(1) 鬼界カルデラ起源テフラ層中に見られる諸現象

a. ローム層の上界

前述のように、鬼界カルデラ起源テフラの下位に堆積する椎現山ローム層には、寒冷地に見られるような波状やボル状になった堆積構造が見られる。とくに幸屋降下軽石と接する部分では、椎現山ローム層の表面は不規則で波状にな

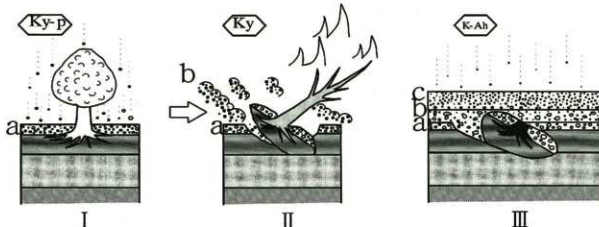


Fig.6 地層横転の模式図 (I : 樹木はたっている II : 火碎流で倒れ、地層を巻き上げる。隙間に火碎流堆積物が入る。 III : 火山灰が降り積もる)

The schematic diagrams of the overturned strata (I : The tree standing. 2 : The tree being blown down by the pyroclastic flow, fissuring in the ground, and the inflowing of the deposit of pyroclastic flow. 3 : The accumulating of the volcanic ash.)

っている (Fig. 4)。一部ではこのローム層が高さ約10cm、幅約10cmほどで幸屋降下軽石の中に入りこんでいる。

椎現山ローム層が不規則に波打ち、ボル状になったりする現象は、指宿地方の広い範囲で認められ、さらに指宿地方以外でも種子島や大隅半島中～島南部、薩摩半島南部で認められる。

b. 断層

Fig.5に示されるように南側調査区には、食い違い量約10cmの正断層が存在する。断層ののびる方向はおよそ東西南北向で、南側へ滑り落ちている。この方向は遺跡の立地する尾根の方向と平行している。

図から明らかなように、断層により鬼界アカホヤ火山灰層の一部は切られているが、その上に堆積する黒色腐植土層は切られていない。のことから、断層の形成時期は鬼界アカホヤ火山灰層の降下途中と判断される。断層の形成要因については、噴火途中で生じた地震により、馬の背状の尾根が南側方向へ滑りして形成されたと考えられる。

c. 地層横転

本遺跡の何カ所かで地層の横転が見られるが、その時期は地層の切り合い関係から、1) 鬼界カルデラ起源テフラの時期 2) 池田カルデラ起源テフラの時期の2つである。

鬼界カルデラ起源テフラの時期のものは、清見岳テフラや大隅降下軽石層、椎現山ローム層が横転し、さらに幸屋降下軽石、幸屋火碎流堆積物も横転している。横転した地層の割れ目には幸屋火碎流堆積物がクサビ状に入り込んでいる。しかし、アカホヤ火山灰や、その上位に堆積する黒色腐植土層は横転せず、また、横転した下位地層の隙間にも入っていらない。これらのことから地層横転の発生時期は、幸屋火碎流堆積物の時期に絞り込むことができる。

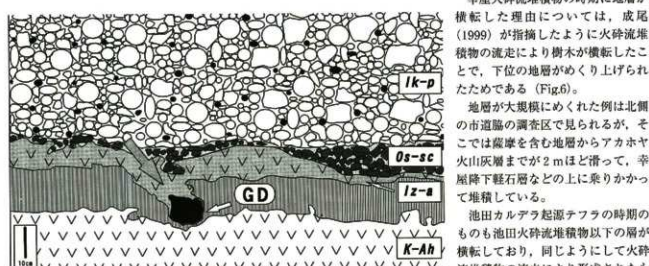


Fig.7 池田崎火山灰層に見られるインパクト構造
The Impact structure in the Ikezaki volcanic ash layer

幸屋火碎流堆積物の時期に地層が横転した理由については、成尾(1999)が指摘したように火碎流堆積物の流走により樹木が横転したことで、下位の地層がめぐり上げられたためである (Fig.6)。

地層が大規模にめくれた例は北側の市道脇の調査区で見られるが、そこでは薩摩を含む地層からアカホヤ火山灰層までが2mほど滑って、幸屋降下軽石層などの上に乗りかかって堆積している。

池田カルデラ起源テフラの時期のものも池田火碎流堆積物以下の層が横転しており、同じようにして火碎流堆積物の流走により形成されたものと考えられる。

(2) 池田カルデラ起源テフラ中に見られる諸現象

a.インパクト構造

池田カルデラ起源 テフラの池崎火山灰には尾下スコリアが入りこみ、そのため池崎火山灰がたわんで、下位にある黒色腐植土まで変形している構造が認められる (Fig.7)。このような構造は火山弾などの落下に伴って形成されるもので、インパクト構造と呼ばれている。これは池崎火山灰が水蒸気爆発の噴出物で水分が多いこと、また細粒でシルト質であることなどから塑性変形しやすかったことに起因するが、池崎火山灰から水分が抜け切っていない状態で尾下スコリアが噴出した、すなわち両者の時間間隔がきわめて近かったことを意味している。

b. 池崎火山灰の波状構造

池崎火山灰はウインナー・ソーセージ状に波打ちながら堆積している。このため厚い部分では30cm以上あるが、薄い部分では数cm程度になる。前述のように、池崎火山灰の内部には細かい成層構造が認められるが、それらを詳細に観察すると互いに切り合うクロスマリニが顕著である。このことは、池崎火山灰がベース・サーボ堆積物であることを示している。

池崎火山灰の内部には火山豆石が大量に含まれることや、細粒火山灰が基質を埋めていることなどから、マグマ水蒸気爆発で形成されたものと判断される。

4. 岩本火山灰

本遺跡では薩摩と大隅降下軽石の間に、カクセン石を含む岩本火山灰層が挟まっているが、これは最初に指宿市岩本遺跡、小牧第二遺跡で確認され、第2イエローなどと呼ばれていた。その後、県内の広い範囲で確認されるようになり、鹿屋市西丸尾遺跡では岩本火山灰と名付けられた (成尾1992)。

成瀬ほか (1994) は、鹿屋市祓川で上部・下部古土壤中にカクセン石が含まれることを指摘し、桜島などの火山から飛来した火山灰が古土壤中に多量に混入したと考えた。

この火山灰層はその層準から考古学上重要なテフラであるが、噴出源や時代についてはよく分かっていなかった。しかし、本遺跡では明瞭な堆積層を形成し、しかも最大5cmに達する降下軽石を作うことから、指宿火山群から噴出したことは確実である。

岩本火山灰層にはカクセン石の他に、無色透明なバブル・ウォール型火山ガラスを多量に含んでいる。このガラスの見かけの特徴は、下位にある戸戸火碎流堆積物のものによく似ていることから、その一部が風などで流され岩本火山灰層中に紛れ込んだものかもしれないが、今後の検討課題である。

References

- Kobayashi,T. and hayakawa,Y., Aramaki,S.(1983) Thickness and grain size distribution of the Osamu pumice fall deposit from the Aira caldera.火山,28,129-139.
町田 洋・新井房夫 (1978) 南九州鬼界カルデラから噴出した鹿屋テフラーアカホヤ火山灰.第四紀研究,17, 143-163.
町田 洋・新井房夫 (1992) 火山灰アトラス-日本列島とその周辺.東京大学出版会.
森脇 広 (1990) 更新世末の桜島の大噴火にかかる研究-鹿屋軽石層の噴火と様式-.鹿児島大学南科研資料センター報告特別号台3号.40-47.
成瀬敏郎・横山勝三・鶴 稔 (1994) シラス台地上的の資源土壤とその堆積環境.地質科学,49,24-32.
成尾英仁 (1984) 間間岳火山噴出物と遺物の関係-特に初期噴出物の関係について.鹿児島考古,19,193-215.
成尾英仁 (1992) 西丸尾遺跡の地質と火山噴出物.西丸尾遺跡, 243-251.鹿児島県教育委員会.
成尾英仁 (1998) 併占町大中原遺跡におけるテフラ層.鹿児島県立博物館研究報告,18,79-88.
成尾英仁・小林哲夫 (1984) 池田カルデラ形成時の降下堆積物(噴出).火山,29,148.
成尾英仁・永山修一・下山 覚 (1997) 間間岳の古墳時代噴火と平安時代噴火による災害-遺跡発掘と史料からの検討.月刊地誌,19, 215-222.
奥野 光・成尾英仁・新井房夫・小林哲夫 (1996) 大隅半島南部に分布する後期更新世テフラ.鹿児島大学理学部紀要(生物・地学),28, 101-110.
宇井忠英 (1973) 極めて薄く延びて堆積した火碎流-幸屋火碎流堆積物の発見.火山,18, 153-168.

指宿市、水迫遺跡における自然科学分析

I. 水迫遺跡の土層とテフラ

Tephrochronological study on the Mizusako site, Ibusuki, Southern Kyushu Japan

早田 勉 (古環境研究所)

Tsutomu Souda

Tephrochronological analysis including refractive index measurements was carried out on tephra samples from the excavation of the Mizusako site, Ibusuki, located in Kyushu, Japan. As a result, the following tephra sequence has been identified: Ata-Kiyomidake tephra (Ata-Ky, ca. 53 ka), Ata-Yodoribaru tephra (Ata-Yd, ca. 37 ka), Aira Osumi-Pumice (A-Os, ca. 24-25 ka), Iwamoto volcanic ash (Iw), Sakurajima-Satsuma (Sz-S, ca. 11 ka), Kikai-Akahoya tephra (K-Ah, ca. 6.3 ka), and Ikeda Lake tephra (Ik, ca. 5.5-5.7 ka).

1.はじめに

九州地方南部に分布する後期更新世以降に形成された地層の中には、姶良カルデラ、阿多カルデラ、鬼界カルデラなどの火山に由来するテフラ（火山碎屑物、いわゆる火山灰）が数多く認められる。テフラの中には、噴出年代が明らかにされている示標テフラがあり、これらとの層位関係を遺跡で求めることにより、遺構の構築年代や遺物包含層の堆積年代を知ることができるようになっている。そこで、年代の不明な遺物や遺構が検出された指宿市水迫遺跡においても、土層や遺物などの年代を明らかにするために、地質調査、テフラ組成分析、さらに屈折率測定を行って示標テフラの検出同定を試みることになった。

調査分析の対象となった地点は、第1調査区先行トレンチ、第1調査区南壁、第1調査区南東隅地点、第1調査区1号が跡の4地点である。

2. 土層の層序

(1) 第1調査区先行トレンチ(おとし穴横;Fig.①)

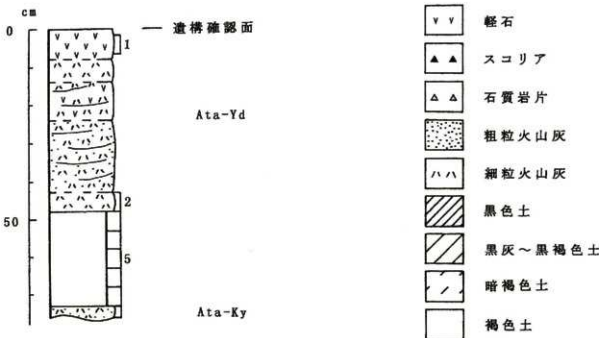


Fig.1 第1調査区先行トレンチの土層柱状図(数字はテフラ分析の試料番号)

Section of test trench, Locality 1. Numbers represent sample IDs.

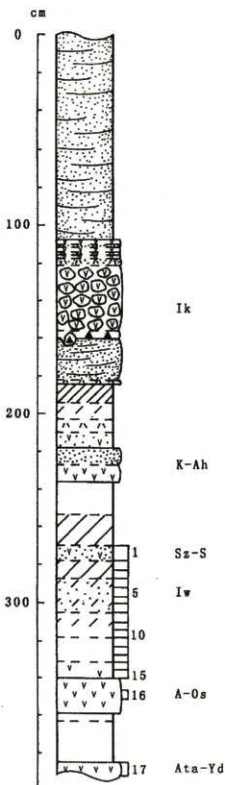


Fig.2 第I調査区南壁における土層柱状図(数字はテフラ分
析の試料番号)

Section of south wall, Locality 1. Numbers represent
sample IDs.

第I調査区先行トレンドでは、下位より固結した灰色砂質細粒火山灰層（層厚3cm以上）、褐色土（層厚25cm）、成層したテフラ層（層厚48cm）が認められる（Fig.1）。これらのうち成層したテフラ層は、下位より褐色細粒火山灰層（層厚5cm）、成層した灰色細粒火山灰層（層厚19cm）、黄色軽石を多く含みかすかに成層した褐色細粒火山灰層（層厚10cm、軽石の最大径11mm）、黄色軽石を多く含む褐色細粒火山灰層（層厚6cm、軽石の最大径3mm）、黄色軽石層（層厚8cm、軽石の最大径24mm、石質岩片の最大径6mm）からなる。

本地点で認められた2層のテフラ層は、各々層相から下位より約5.3万年前に阿多カルデラから噴出した阿多清見岱テフラ（Ata-Ky, 奥野ほか, 1995, 奥野ほか, 2000）と約3.7万年前に噴出した阿多宿利原テフラ（Ata-Yd, 奥野ほか, 1995, 奥野ほか, 2000）に同定される。

(2) 第I調査区南壁(Fig.2)

第I調査区南壁では、Ata-Ydの上位に下位より褐色土（層厚22cm）、若干色調が暗い褐色土（層厚4cm）、黄色細粒軽石層（層厚19cm、軽石の最大径11mm、石質岩片の最大径2mm）、下位の黄色細粒軽石混じり黄褐色土（層厚9cm、軽石の最大径3mm）、褐色土（層厚13cm）、暗褐色土（層厚13cm）、白色粗粒火山灰混じり暗褐色土（層厚18cm）、黒褐色土（層厚9cm）、黄色軽石に富む黄色粗粒火山灰層（層厚8cm、軽石の最大径14mm、石質岩片の最大径2mm）、黒灰色土（層厚16cm）、褐色土（層厚18cm、繩文時代早期の遺物包含層）、成層したテフラ層（層厚33cm）、暗褐色土（層厚9cm）、黑色土（層厚10cm）、成層したテフラ層（層厚182.5cm以上）が認められる（Fig.2）。

2層の成層したテフラ層のうち、下位のテフラ層は、下位より白色軽石層（層厚9cm、軽石の最大径17mm、石質岩片の最大径2mm）、灰白色粗粒火山灰層（層厚9cm）、黄色火碎流堆積物（層厚15cm、軽石の最大径13mm、石質岩片の最大径2mm）からなる。このテフラ層は、その層相から約6,300年前に鬼界カルデラから噴出した鬼界アカホヤテフラ（K-Ah, 町田・新井, 1978）に同定される。なお最上部の火碎流堆積物は、層位から辛屋火碎流堆積物（宇井, 1973）に同定される。

また上位の成層したテフラ層は、下位より黄白色細粒火山灰層（層厚9cm）、細かく成層した黄色砂質細粒火山灰層（層厚22cm、石質岩片の最大径11mm）、黒灰色スコリア層（層厚4cm、スコリアの最大径193mm、石質岩片の最大径44mm）、白色軽石層（層厚35cm、軽石の最大径18mm、石質岩片の最大径53mm）、桃色細粒火山灰層（層厚4cm）、白色軽石層（層厚0.3cm、軽石の最大径6mm、石質岩片の最大径2mm）、桃白色細粒火山灰層（層厚1cm）、灰白色軽石に富む桃白色細粒火山灰層（層厚1.5cm、軽石の最大径17mm、石質岩片の最大径5mm）、桃白色

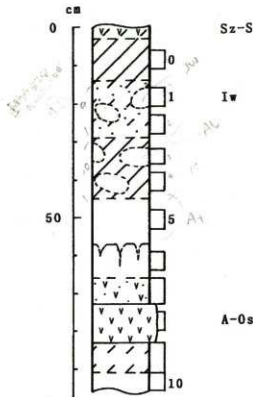


Fig.3 第Ⅰ調査区南東隅地点の土層柱状図(数字はテフラ分析の試料番号)
Section of southeast corner, Locality 1. Numbers represent sample IDs.

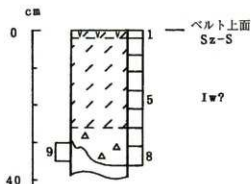


Fig.4 1号炉跡土層柱状図(数字はテフラ分析の試料番号)
Section of fire-pit 1. Numbers represent sample IDs.

細粒火山灰層(層厚1cm), 白色軽石に富む桃白色粗粒火山灰層(層厚2cm, 軽石の最大径13mm, 石質岩片の最大径4mm), 層理が発達した桃色サージ堆積物(層厚108cm以上)からなる。黒灰色コリアの基底部には, impact構造も認められる。このテフラ層は, その層相から約5,500~5,700年前¹に池田湖火山から噴出した池田湖テフラ(Ik, 成尾・小林, 1984, 町田・新井, 1992, 奥野ほか, 1996, 奥野ほか, 2000)に同定される。発掘調査では, IKの直下の褐色土から縄文時代早期の遺物が検出されている。

(3) 第Ⅰ調査区南東隅地点(Fig.3)

第Ⅰ調査区南東隅地点では, 下位より褐色土(層厚5cm以上), 暗灰褐色土(層厚8cm), 黄色細粒軽石層(層厚10cm, 軽石の最大径24mm, 石質岩片の最大径3mm), 下位の黄色細粒軽石に富む黄褐色砂質土(層厚7cm, 軽石の最大径3mm), 褐色土(層厚9cm), 若干色調が暗い褐色土(層厚12cm), 褐色土ブロックを少し含む黒褐色土(層厚16cm), 褐色土ブロックや白色粗粒火山灰を含む暗褐色土(層厚15cm), 黑褐色土(層厚11cm), 黄色軽石を多く含む暗褐色土(層厚3cm以上, 軽石の最大径11mm, 石質岩片の最大径2mm)が認められる(Fig.3)。

(4) 1号炉跡検出地点(Fig.4)

1号炉跡では, 褐色土の上位に, 下位より赤褐色焼土粒子混じり褐色土(層厚10cm), 暗褐色土(層厚24cm), 黄色軽石を多く含む暗褐色土(層厚2cm, 軽石の最大径12mm, 石質岩片の最大径2mm)が認められる(Fig.4)。

3. テフラ組成分析

(1) 分析試料と分析方法

第Ⅰ調査区の南東隅地点および1号炉跡の2地点において, 基本的に5cmごとに採取された試料のうち11点の試料を対象に, 火山ガラス比分析と重鉱物組成分析を合わせたテフラ組成分析を試みた。分析の手順は, 次の通りである。

- 1) 試料15gを秤量。
- 2) 超音波洗浄により泥分を除去。
- 3) 80°Cで恒温乾燥。
- 4) 分析筒により1/4-1/8mmの粒子を篩別。
- 5) 偏光顕微鏡下で250粒子を観察し, 火山ガラスの色調形態別比率を求める。
- 6) 偏光顕微鏡下で重鉱物250粒子を観察し, 重鉱物組成を求める。

(2) 分析結果

南東隅地点および1号炉跡におけるテフラ組成ダイヤグラムをFig.5およびFig.6に, 火山ガラス比と重鉱物組成の内訳を各々表Tab.1とTab.2に示す。南東隅地点では, とくにブロック状に含まれている土層の起源が問題とされている。この地点では, 試料3(褐色土ブ

火山ガラス比

重鉱物組成

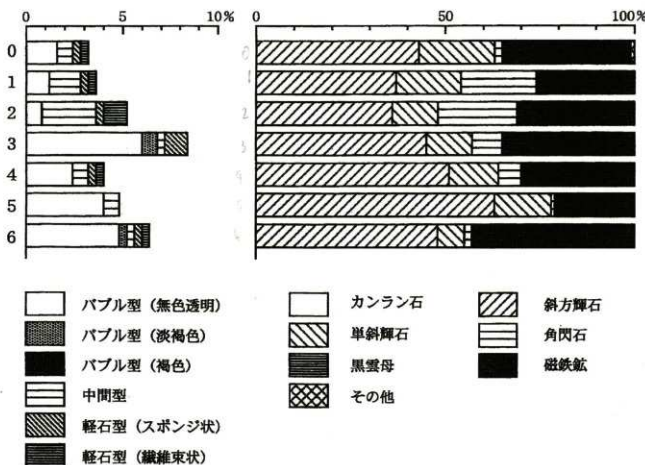


Fig.5 第 I 調査区南東隅地点のテフラ組成ダイヤグラム

Tephra composition diagram of southeast corner, Locality 1.

ロック)に比較的多くの無色透明のパブル型ガラスが認められた。この火山ガラスは、最下位の試料6にも比較的多く含まれている。さらにこれらの試料には、重鉱物として斜方輝石や単斜輝石が多く含まれている。試料2と試料1(褐色土ブロック)には、ほかの試料と比較して分厚い中間型ガラスや軽石型(繊維束状)ガラスが比較的多く含まれている。また角閃石の比率も大きい。したがって、これらの試料中には、これらのテフラ粒子で特徴づけられるテフラが多く混在していると考えられる。

1号探跡では、焼土包含層の層位に関する分析が行われた。試料5には、軽石型(繊維束状)ガラスや中間型ガラスが比較的多く認められた。また重鉱物では、角閃石のしめる割合が比較的大きい。したがって、さほど明確ではないものの、この層準に中間型ガラスや軽石型(繊維束状)ガラス、さらに角閃石で特徴づけられるテフラの降灰層準がある可能性が指摘されよう。また試料1の土層では、軽石が濃集することや、斜方輝石や単斜輝石の比率が急増することなどから、これらの粒子で特徴づけられるテフラの降灰層準があると言える。

4. 屈折率測定

(1) 測定試料と測定方法

第I調査区の先行トレンチ、南壁、南東隅地点において認められたテフラ層およびテフラ試料に含まれるテフラ粒子

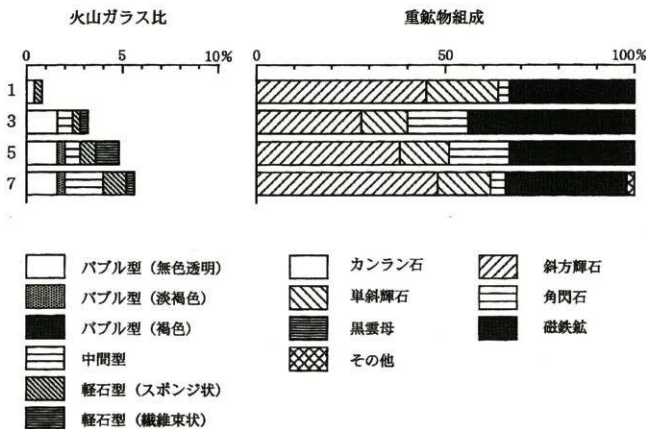


Fig.6 第I調査区1号炉跡のテフラ組成ダイヤグラム
Tephra composition diagram of fire-pit 1

の起源を求めるために、温度一定型屈折率測定法（新井、1972、1993）により屈折率の測定を試みた。

(2) 測定結果

第I調査区における屈折率の測定結果をTab.3に示す。先行トレンチの試料8には、重鉱物として斜方輝石や単斜輝石が含まれている。斜方輝石 (γ) の屈折率は、1.706-1.710である。先行トレンチの試料1には、重鉱物として斜方輝石や単斜輝石が含まれている。斜方輝石 (γ) の屈折率は、1.705-1.709である。

南壁の試料16に含まれる火山ガラス (n) の屈折率は、1.499-1.501である。重鉱物としては、斜方輝石が含まれている。斜方輝石 (γ) の屈折率は、1.725-1.733 (modal range: 1.729-1.732) である。試料1に含まれる火山ガラス (n) の屈折率は、1.509-1.512である。重鉱物としては、斜方輝石や単斜輝石が含まれている。斜方輝石 (γ) の屈折率は、1.708-1.712である。

南東隅地点の試料2に含まれる重鉱物としては、斜方輝石のほか角閃石や単斜輝石が含まれている。斜方輝石 (γ) や角閃石 (n) の屈折率は、各々1.709-1.732および1.670-1.674である。試料1に含まれる火山ガラス (n) の屈折率は、1.497-1.508である。重鉱物としては、斜方輝石や角閃石のほか単斜輝石が含まれている。斜方輝石 (γ) や角閃石 (n) の屈折率は、各々1.710-1.733および1.671-1.674である。

5. 考察

南壁の試料16のテフラ層は、その層相や岩石記載的な特徴などから、約2.4～2.5万年前¹⁾に始良カルデラから噴出した始良大隅軽石（A-Os, 荒牧, 1969, 町田・新井, 1976, 1992, 松本ほか, 1987, 池田ほか, 1995）に同定される。試料1のテフラ層は、層相や岩石記載的な特徴などから、約1.1万年前¹⁾に桜島火山から噴出した桜島薩摩テフラ（Sz-S, 小林, 1986, 町田・新井, 1992, 奥野ほか, 2000）に同定される。南東隅地点の試料および試料1に含まれるテフラは、層位や角閃石で特徴づけられることなどから、岩本火山灰（Iw, 成尾, 1990）に由来すると考えられる。

これらのことから、南壁の試料7から試料4にかけての土層中に含まれるテフラや、焼土検出地点の試料5付近に多く含まれているテフラは、Iwの可能性が高い。また1号炉跡の試料1に多く含まれているテフラは、Sz-Sと考えられる。したがって1号炉跡で認められた焼土包含層の層位は、Iw降灰層準付近にあり、Iwの下位にある可能性も考えられる。なお、繩文時代早期の遺物包含層は、前述通りIKの直下付近にある。

南東隅地点で認められた試料3の褐色土ブロックには、始良入戸火碎流堆積物（A-Ito, 沢村, 1956, 荒牧, 1968, 町田・新井, 1976, 1992, 松本ほか, 1987, 池田ほか, 1995）や始良大隅軽石（A-Os, 荒牧, 1968）に由来するテフラ粒子が多く含まれていると考えられる。一方、試料1の褐色土ブロックには、さほど多くのA-ItoやA-Os起源の粒子は含まれておらず、むしろIwを多く含む傾向が認められる。したがって、このブロックについては、試料3の土層とは異なり、Iw降灰層準付近で形成された土層に由来している可能性が高いと思われる。

6.まとめ

水道跡において、地質調査、テフラ組成分析、屈折率測定を行った。その結果、下位より阿多清見岳テフラ（Ata-Ky, 約5.3万年前）、阿多宿利原テフラ（Ata-Yd, 約3.7万年前）、始良大隅軽石（A-Os, 約2.4～2.5万年前¹⁾）、岩本火山灰（Iw）、桜島薩摩テフラ（Sz-S, 約1.1万年前¹⁾）、鬼界アカホヤ火山灰（K-Ah, 約6,300年前¹⁾）、池田湖テフラ（Ik, 約5,500～5,700年前¹⁾）が認められた。

本遺跡で検出された焼土包含層の層位は、Iw降灰層準付近でその下位にある可能性がより高いと考えられる。なお、繩文時代早期の遺物包含層は、Ikの直下付近にある。

¹⁾ 放射性炭素 (¹⁴C) 年代。

References

- 新井房夫（1972）角閃石・角閃石によるテフラの同定—テフロクロノロジーの基礎的研究。第四紀研究, 11, p.252-269。
新井房夫（1983）温帯一定層屈折率測定法。日本第四紀学会編「第四紀試料分析法—研究対象別分析法」, p.138-148。
荒牧重雄（1969）鹿児島県四分地城の鉱物と火碎流堆積物。地質録, 75, p.425-442。
澤田晃子・奥野 光・中村俊夫・鶴井正明・小林智夫（1995）南九州。始良カルデラ起源の大噴火下軽石と入戸火碎流中の炭化樹木の加速器質量分析法による¹⁴C年代。第四紀研究, 34, p.377-379。
小林晋介（1986）桜島火山の形成史と火碎流。文部省科研自然災害特別研究「火山噴火に伴う乾燥粉体流（火碎流等）の特質と被害」（研究代表者：荒牧重雄）, p.137-163。
Machida H. (1999) Quaternary widespread tephra catalog in and around Japan recent progress. Quat.Res, 38, p.194-201.
町田 洋・新井房夫（1976）広域に分布する火山灰—始良Tn火山灰の発見とその意義。科学, 46, p.339-347.
町田 洋・新井房夫（1992）火山灰アトラス。東京大学出版会, 276p.
松本英二・前田保夫・竹村恵二・西田完史（1987）始良Tn火山灰（AT）の¹⁴C年代。第四紀研究, 26, p.79-83。
成尾英仁・小林智夫（1984）池田カルテラ形成時の降下堆積物（演説）。火山, 29, p.148。
成尾英仁（1992）西丸尾遺跡の地質と火山噴出物。鹿児島県教育委員会編「西丸尾遺跡」, p.243-252。
奥野 光・成尾英仁・中村俊夫・小林智夫（1985）人跡半島南部に分布する後期更新世テフラ。鹿児島大学理学部紀要（地学・生物学）, 28, p.101-110。
奥野 光・成尾英仁・中村俊夫・小林智夫（1996）南九州。池田湖テフラ層に関連する試料の加速器¹⁴C年代。名古屋大学古川総合研究資料館報告, 12, p.49-55。
奥野 光・福島大輔・小林智夫（2000）南九州のテフロクロノロジー—最近10万年間のテフラー。人類史研究, 12, p.9-23。
沢村幸之助（1956）5万分の1地質図（四分）および説明書。地質調査所, 19p。
宇井忠義（1973）幸運火碎流—極めて薄く並び重複した火碎流の発見。火山, 18, p.153-168.

地点	試料	bw(cl)	bw(pb)	bw(br)	md	pm(sp)	pm(fb)	その他	合計
南東隅	0	4	0	0	2	1	1	242	250
	1	3	0	0	4	1	1	241	250
	2	2	0	0	7	1	3	237	250
	3	15	2	0	1	3	0	229	250
	4	6	0	0	2	1	1	240	250
	5	10	0	0	2	0	0	238	250
	6	12	1	0	1	1	1	234	250
焼土検出	1	1	0	0	0	1	0	248	250
地点	3	4	0	0	2	1	1	242	250
	5	4	1	0	2	2	3	238	250
	7	4	1	0	5	3	1	236	250

数字は粒子数。bw：バブル型，md：中間型，pm：軽石型，cl：透明，pb：淡褐色，

br：褐色，sp：スポンジ状，fb：纖維束状。

Tab.1 第I調査区における火山ガラス比分析結果

Volcanic glass proportion of location 1

地点	試料	ol	opx	cpx	ho	bi	mt	その他	合計
南東隅	0	0	108	50	6	0	85	1	250
	1	0	92	42	51	0	64	1	250
	2	0	91	30	52	0	77	0	250
	3	0	113	31	19	0	87	0	250
	4	0	128	33	15	0	74	0	250
	5	0	158	37	2	0	52	1	250
	6	0	119	17	5	0	109	0	250
焼土検出	1	0	113	47	7	0	83	0	250
地点	3	0	70	31	39	0	109	1	250
	5	0	95	33	40	0	82	0	250
	7	0	121	36	11	0	81	1	250

数字は粒子数。ol：カンラン石，opx：斜方輝石，cpx：单斜輝石，

ho：角閃石，bi：黒雲母，mt：磁鐵鉄。

Tab.2 第I調査区における重鉱物組成分析結果

Heavy mineral assemblage of location 1

地点	試料	火山ガラス (n ₁) 重鉱物	斜方輝石 (γ) 角閃石 (n ₂)
先行トレント	1	-	opx>cpx 1.75-1.709 -
先行トレント	8	-	opx>cpx 1.706-1.711 -
南壁	1	1.509-1.512	opx>cpx 1.708-1.712 -
南壁	16	1.499-1.501	opx 1.725-1.733 (1.729-1.732)
南東隅	1	1.497-1.508	opx, ho>cpx 1.710-1.733 1.671-1.674
南東隅	2	-	opx>ho,cpx 1.709-1.732 1.670-1.674

屈折率の測定は、温度一定型屈折率測定法（新井，1972, 1993）による。0は、modal

rangeを示す。opx：斜方輝石，cpx：单斜輝石，ho：角閃石。

Tab.3 第I調査区における屈折率測定結果

Refractive indices of tephra detected at location 1

II. 水道遺跡における植物珪酸体分析

The vegetation and environment estimated from phytolith analysis

杉山真二 (古環境研究所)
Shinji Sugiyama

We believe that the gramineae plants such as the Sasa sect-Miyakozasa, Plioiblastus sect-Nezasa were growing thickly above the 16th layer, which includes the Ata-Kiyomidake tephra (Ata-Ky., about 53,000 years ago). We also believe that some deciduous trees were growing densely around it. Plioiblastus sect-Nezasa is typical of a mild climate, and Bambusoideae and Sasa are of a cold climate. The Change of the ratio of the estimated amount of production of both conform well with the fluctuation of the ice age-interglacial epoch cycle of the earth.

Sasa is superior in the 16th layer of this site. Therefore it is estimated that that time was a comparatively cold climate. We assume that the adaptability of the Sasa sect-Chishimazasa and the Chimakizasa to snow was high. They were distributed in the few snowy areas on the Pacific side.

(Muroi, 1960). The Phytolith of Sasa sect-Miyakozasa is abundant in this site. We estimated that it was a dry environment with only a little snow at the time. We believe that the 15th layer, which is under the Ata-Kiyomidake tephra, for some reason is not suited to the growth of the gramineae plant type. We think that the gramineae (for example, mainly Sasa, and others Andropogoneae, Molinia, and so on) grew thickly in the 13th~12th layers. Phragmites probably grew in the 13th layer which had swamp like conditions. After that, we think that the vegetation was destroyed by the accumulation of the A-Os. However, it is estimated that gramineae vegetation was regenerating in the time of the 10th layer similarly with an A-Os direct lower layer.

We estimated that Sasa had grown thickly in the 9th layer. We also estimated that Panicum, Andropogonac and Molinia had grown too. Furthermore, Sasa sect-Chishimazasa and Chimakizasa increases in the 9th layer. There is the possibility that the snowfall (the precipitation) increased at this time. Sasa had photosynthesis activity even at minus 5 degrees celsius and remained green amongst the snow, when other plants normally shed their leaves. Sasa was an important food for herbivorous animals, such as deer.

(Takatsuki, 1992). The existence of abundant Sasa in the periphery of the site is important when we think of the fauna of that time. The dwelling pits and fire pits were discovered from the 9th layer. Therefore we expected the discovery of some phytolith that was used for roofing material and fuel. However, there are no existing surveys to support that result. Miscanthus and Imperata have appeared in the 7th layer. We estimated that Sasa had decreased. As for Miscanthus and Imperata, its growth was difficult due to the exposure of sunlight in the forest. Therefore, it is estimated that the periphery of the survey ward had an open environment with a lot of sunlight. Lauraceae is also present in the lower part of the 7th layer. We estimated that the Lucidophyllous forest (Lauraceae, Castanopsis, and so on) was growing at the time of the 7th layer upper parts. It is estimated that the Lucidophyllous forest materialized 8,500 years ago in southern Kyushu according to pollen analysis. (The Hatanaka and others, 1998)

It is conceivable that the Lucidophyllous forest was materializing before this, in the periphery of this site that is located in the southern end of south Kyushu. It is estimated that the Lucidophyllous forest expanded into the periphery of site around the time of the 5th layer. Also it is estimated that Lauraceae was present. After that, we think that the vegetation of at that time was destroyed by the accumulation of K-Ah · K-Ky. It is estimated that the nucleus plain vegetation that consisted mainly of Miscanthus materialized in the lower parts of the 3rd layer. It is estimated that Miscanthus was growing thickly in the upper parts of the 3rd layer.

It is estimated that a Deciduous forest was growing in the periphery. The Lucidophyllous forest died out in the south of Satsuma and Osumi peninsulas where the Koya Pyroclastic flow reached. After that it changed into the plain vegetation that Miscanthus grew in. It is estimated that for at least 600 years the Lucidophyllous forest did not recover. (Sugiyama, 1999)

It is estimated that the deciduous forests materialized at a comparatively early time. Furthermore, Quercus subgen. Cyclobalanopsis and Quercus subgen. Lepidobalanopsis were confirmed to exist only within the south wall of the survey ward. It is possible that this deciduous forest was distributed along the valley on the south side of the ruins.

1.はじめに

植物珪酸体は、植物の細胞内にガラスの主成分である珪酸 (SiO_2) が蓄積したものであり、植物が枯れたあとで微化石（プランクトン・オパール）となって土壤中に半永久的に残っている。植物珪酸体分析は、この微化石を遺跡土壤などから検出して同定・定量する方法であり、イネ科栽培植物の同定および古植生・古環境の推定などに応用されている（杉山, 2000）。

2. 試料

分析試料は、第1調査区の南壁地点（基本土層）西側拡張区北西端地点、第1調査区北壁、先行トレンチ（おとし穴横）、1号竪穴建物跡、2号竪穴建物跡、1号炉跡（9層中出土）の7地点から採取された計82点である。試料採取箇所を分析結果の模式柱状図に示す(Fig.2).

3. 分析法

植物珪酸体の抽出と定量は、プラント・オパール定量分析法（藤原、1976）をもとに、次の手順で行った。

- 1) 試料を105°Cで24時間乾燥（絶乾）
- 2) 試料約1gに直径約40μmのガラスピーブズを約0.02g添加（電子分析天秤により0.1mgの精度で秤量）
- 3) 電気炉灰化法（550°C・6時間）による脱有機物処理
- 4) 超音波水中照射（300W・42kHz・10分間）による分散
- 5) 沈底法による20μm以下の微粒子除去
- 6) 封入剤（オイキット）中に分散してプレパラート作成
- 7) 檢鏡・計数。

同定は、イネ科植物の機動細胞由来する植物珪酸体をおもな対象とし、400倍の偏光顕微鏡下で行った。計数は、ガラスピーブズ個数が400以上になるまで行った。これはほぼプレパラート1枚分の精査に相当する。試料1gあたりのガラスピーブズ個数に、計数された植物珪酸体とガラスピーブズ個数の比率をかけて、試料1g中の植物珪酸体個数を求めた。

また、おもな分類群についてはこの値に試料の仮比重と各植物の換算係数（機動細胞珪酸体1個あたりの植物体乾重、単位：10-5g）をかけて、単位面積で層厚1cmあたりの植物体生産量を算出した。イネ（赤米）の換算係数は2.94（種実重は1.03）、ヨシ属（ヨシ）は6.31、ススキ属（ススキ）は1.24、ネザサ節は0.48、クマザサ属（チシマザサ節・チマキザサ節）は0.75、ミヤコザサ節は0.30である。タケア科については、植物体生産量の推定値から各分類群の比率を求めた。

4. 分析結果

（1）分類群

分析試料から検出された植物珪酸体の分類群は以下のとおりである。これらの分類群について定量を行い。その結果をTab.1～Tab.2およびFig.1～Fig.7に示した。

〔イネ科〕

イネ、キビ族型、ススキ属型（おもにススキ属）、ウシクサ族A（チガヤ属など）、ウシクサ族B（大型）、シバ属、Bタイプ（スマガヤ属類似）

〔イネ科－タケア科〕

ネザサ節型（おもにメダケ属ネザサ節）、クマザサ属型（チシマザサ節やチマキザサ節など）、ミヤコザサ節型（おもにクマザサ属ミヤコザサ節）、未分類等

〔イネ科－その他〕

表皮毛起源、棒状珪酸体（おもに結合組織細胞由来）、茎部起源、未分類等

〔樹木〕

ブナ科（シイ属）、ブナ科（アカガシア属？）、クヌキ科、マンサク科（イスノキ属）、はめ縫バズル状（ブナ科ブナ属など）、多角形板状（ブナ科コナラ属など）、その他

（2）植物珪酸体の検出状況

1) 南壁地点（Fig.2；Basic straitgraphy, Fig.1, Fig.8-②）

Ata-Yd層の14層（試料27）からIk直下の3層（試料1）までの層番について分析を行った。その結果、14層（試料27）では、植物珪酸体はほとんど検出されなかった。Ata-Yd直上の13層（試料26）では、キビ族型、ヨシ属、ススキ属型、ウシクサ族A、イネ科Bタイプ（スマガヤ属類似）、ネザサ節型、クマザサ属型、ミヤコザサ節型などが検出されたが、いずれも少量である。12層（試料24, 25）では、ミヤコザサ節型が一時的に増加しており、樹木（その他）も検出された。なお、ヨシ属、ススキ属型、ネザサ節型は見られなくなっている。樹木は一般に植物珪酸体の生産量が低いことから、少量が検出された場合でもかなり過大に評価する必要がある。なお、すべての樹種で植物珪酸体が形成されるわけではなく、落葉樹では形成されないものも多い。

A-Os直上の10層（試料21, 22）では、12層と同様の分類群が検出され、試料21ではミヤコザサ節型が大幅に増加している。9層（試料16～20）では、ミヤコザサ節型が多量に検出され、クマザサ属型も比較的多く検出された。また、ネザサ節型も検出され、試料18では樹木（その他）も少量検出された。8層（試料13～15）でもおおむね同様の結果であるが、イネ科Bタイプやネザサ節型は見られなくなっている。7層（試料10～12）では、ススキ属型が増加しており、ミヤコザサ節型が大幅に減少している。また、同層では落葉樹起源のクヌキ科やブナ科（アカガシア属？）が出現している。6層（試料9）から5層（試料7, 8）にかけては、ブナ科（シイ属）が出現・増加しており、マンサク科（イスノキ属）も検出された。

K-Ah・K-Kyの4層上部（試料6）では、ススキ属型が比較的多く検出され、ウシクサ族Aなども少量検出された。3層（試料1～5）では、ススキ属型が大幅に増加しており、試料1では密度が7万個/g以上に達している。また、ウシクサ族Aも検出され、キビ族型、クマザサ属型、ミヤコザサ節型なども部分的に少量検出された。さらに、落葉樹のブナ科（ブナ属やコナラ属など）に由来する植物珪酸体も検出された。

おもな分類群の推定生産量によると、5層より下位ではおむねクマザサ属型やミヤコザサ節型が優勢であり、とくに8~10層ではミヤコザサ節型が卓越していることが分かる。また、3層ではススキ属型が圧倒的に卓越している。

2) 北西端地点 (Fig.2, Fig.8-⑤)

Ata-Yd混の14層（試料18）から現表土の1層（試料1）までの層準について分析を行った。その結果、14層（試料18）および9下層（試料17）では、ミヤコザサ節型が比較的多く検出され、ウシクサ族AやBタイプなども検出された。9層（試料13、15）ではミヤコザサ節型が大幅に増加しており、クマザサ属型も検出された。7+8層（試料11）にかけても、おむね同様の結果であるが、ススキ属型が出現しており、Bタイプは見られなくなっている。7層（試料9）ではミヤコザサ節型が減少しており、照葉樹のブナ科（シイ属）、クスノキ科が出現している。5層（試料7、8）ではススキ属型が増加しており、ブナ科（アカガシ重属？）やマンサク科（イヌノキ属）が出現している。

4層上部（試料6）では、ススキ属型やウシクサ族Aなどが検出されたが、いずれも少量である。3層（試料2~5）ではススキ属型が大幅に増加しており、試料2では密度が13万個/g以上に達している。1層（試料1）では、イネ、ススキ属型、ウシクサ族A、ブナ科（シイ属）、ブナ科（アカガシ重属？）、クスノキ科などが検出された。イネの密度は700個/gと低い値であり、植物の検証や探査を行う場合の判断基準としている3,000個/gを下回っている。

おもな分類群の推定生産量によると、7層より下位ではミヤコザサ節型が優勢であり、とくに7+8層~9層ではミヤコザサ節型が卓越していることが分かる。また、3層ではススキ属型が圧倒的に卓越している。

3) 第I調査区北壁 (Fig.3, Fig.8-⑥)

Ata-Yd混の14層（試料21）からIk直下の3層（試料1）までの層準について分析を行った。その結果、14層（試料18）ではミヤコザサ節型などが検出されたが、いずれも少量である。その上層（試料18~20）では、クマザサ属型やミヤコザサ節型が増加しており、ウシクサ族Aなども検出された。9層（試料15~17）では、クマザサ属型やミヤコザサ節型がさらに増加しており、部分的にイネ科Bタイプも検出された。7層（試料14）ではミヤコザサ節型が減少傾向を示し、樹木（その他）が出現している。5・6層（試料9~13）では、照葉樹起源のブナ科（シイ属）、クスノキ科が出現している。

4層上部（試料7）では、ススキ属型などが検出されたが、いずれも少量である。3層（試料1~6）ではススキ属型が大幅に増加しており、試料2では密度が7万個/g以上に達している。また、キビ族型やウシクサ族Aなども少量検出された。

おもな分類群の推定生産量によると、5層より下位ではおむねクマザサ属型やミヤコザサ節型が優勢であり、3層ではススキ属型が圧倒的に卓越していることが分かる。

4) 先行トレレンチ（おとし穴横、Fig.4, Fig.8-⑦）

Ata-Ky混の16層（試料32）からAta-Yd直下の15層（試料28）までの層準について分析を行った。その結果、16層（試料32）ではミヤコザサ節型が比較的多く検出され、ネザサ節型なども少量検出された。また、樹木（その他）も少量検出された。15層（試料28）では植物珪酸体はほとんど検出されなかった。

5) 1号竪穴建物跡 (Fig.5, Fig.8-⑦)

竪穴建物跡の床面（試料7）および覆土（試料4~6）について分析を行った。その結果、住居跡の床面（試料7）では、ミヤコザサ節型が多量に検出され、キビ族型、ウシクサ族Aなども検出された。覆土（試料4~6）でも、おむね同様の結果であるが、ミヤコザサ節型がやや増加しており、部分的にススキ属型、クマザサ属型、樹木（その他）なども検出された。これらの結果は、自然堆積層の9層と同様であり、植物珪酸体の種類や量にとくに大きな特徴は認められなかった。

6) 2号竪穴建物跡 (Fig.6, Fig.8-⑧)

竪穴建物跡の床面（試料8）および覆土（試料4~7）について分析を行った。その結果、住居跡の床面（試料8）では、ミヤコザサ節型が多量に検出され、ウシクサ族A、ネザサ節型、クマザサ属型なども検出された。覆土（試料4~6）でも、おむね同様の結果であるが、部分的にキビ族型、ヨシ属、イネ科Bタイプなども検出された。これらの結果は、自然堆積層の9層と同様であり、植物珪酸体の種類や量にとくに大きな特徴は認められなかった。

7) 1号炉跡（9層中出土、Fig.7, Fig.8-④）

焼土とみられる赤変化土壤（試料2、3）と比較試料（試料1、4）について分析を行った。その結果、赤変化土壤（試料2、3）では、ミヤコザサ節型が多量に検出され、ウシクサ族A、イネ科Bタイプ、ネザサ節型、クマザサ属型なども検出された。比較試料として採取された遺構外の9層（試料1）でも、おむね同様の結果である。9層下部（試料4）でも同様の分類群が検出されたが、いずれも比較的少量である。

5. 植物珪酸体分析から推定される植生と環境

阿多溝見岳テフラ (Ata-Ky, 約5.3万年前) 混の16層上部の堆積当時は、クマザサ属 (ミヤコザサ節) を主体としてネザサ節なども見られるイネ科植生であったと考えられ、周辺には何らかの樹木 (落葉樹) も生育していたと推定される。

タケア科のうち、メダケ属ネザサ節は温暖、クマザサ属は寒冷の指標とされており、ネザサ率 (両者の推定生産量の比率) の変遷は、地殻規模の氷期～間氷期サイクルの変動と良く一致することが知られている (杉山・早田, 1996, 杉山, 2001)。ここでは、クマザサ属が優勢であることから、当時は比較的寒冷な気候条件で推移したと推定される。また、クマザサ属のうちシマザサ節やチマキザサ節は積雪に対する適応性が高いとされ、ミヤコザサ節は太平洋側の積雪の少ないところに分布している (室井, 1960)。ここではミヤコザサ節が優勢であることから、当時は積雪の少ない比較的乾燥した環境であったと推定される。

阿多宿利原テフラ (Ata-Yd, 約3.7万年前) 直下の15層の堆積当時は、何らかの原因でイネ科植物の生育には適さない環境であったと考えられる。

Ata-Yd直上の13層から始良大隅輕石 (A-Os, 約2.4～2.5万年前) 直下の12層にかけては、クマザサ属 (おもにミヤコザサ節)などのササ類を主体としてウシクサ族やイネ科Bタイプの給源植物 (ヌマガヤ属?) なども生育するイネ科植生であったと考えられ、13層の時期にはヨシ属などが生育する湿地的なところも見られたと推定される。

その後、A-Osの堆積によって当時の植生は破壊されたと考えられるが、その直上の10層の時期にはA-Os直下層とおむね同様のイネ科植生が再生していたと推定される。9層の堆積当時は、クマザサ属 (おもにミヤコザサ節)などのササ類が繁茂する状況であったと考えられ、キビ族やウシクサ族、イネ科Bタイプの給源植物 (ヌマガヤ属?) なども生育していたと推定される。なお、同層ではクマザサ属のうちシマザサ節やチマキザサ節が増加していることから、この時期に積雪量 (降水量) が増加した可能性が考えられる。

クマザサ属は水点以下5℃程度でも光合成活動をしており、雪の中でも緑を保っていることから、大半の植物が落葉または枯死する秋から冬にかけてはシカなどの草食動物の重要な食物となっている (高瀬, 1992)。遺跡周辺にこれらのササ類が豊富に存在したことは、当時の動物相を考える上でも重要である。

9層では住居跡や炉跡などの遺構が検出されており、敷物や屋根材、燃料などに用いられた植物の植物珪酸体の検出が期待されたが、これまでの調査ではそれを裏付けるような結果は得られていない。

水道式土器を包含する7層下部から桜島薩摩テフラ (Sz-S, 約1.1万年前) 混の7層上部にかけては、スキ属やチガヤ属などが見られるようになり、クマザサ属などのササ類は減少したと推定される。スキ属やチガヤ属は日当りの悪い林床では生育が困難であることから、当時の調査区周辺は日当りの良い比較的開かれた環境であったと推定される。また、遺跡周辺では7層下部の時期にはクスノキ科が見られるようになったと考えられ、7層上部の時期にはクスノキ科、シイ属、カシ類などの照葉樹林が成立していたと推定される。花粉分析の結果によると、南部九州では約8,500年前に照葉樹林が成立したと推定されているが (烟中ほか, 1998)、九州南端に位置する本遺跡周辺では、これよりも前に照葉樹林が成立していたと考えられる。鬼界アカホヤ火山灰 (K-Ah, 約6,300年前) および幸星火碎流堆積物 (K-Ky) 直下の5層の時期には、遺跡周辺で照葉樹林がさらに拡大したと考えられ、イスノキ属なども見られるようになったと推定される。

その後、K-Ah・K-Ky (4層) の堆積によって当時の植生は破壊されたと考えられるが、その直上の3層下部の時期にはスキ属を主体とした草原植生が成立していたと推定される。池田湖テフラ (Ik, 約5,500～5,700年前) 直下の3層上部の堆積当時は、スキ属が繁茂する状況であったと考えられ、周辺ではブナ属やコナラ属などの落葉樹林が成立していたと推定される。幸星火碎流が及んだ大隅半島南部や薩摩半島南部では、照葉樹林が絶えてスキ属などが繁茂する草原植生に移行し、少なくとも600年間は照葉樹林が回復しなかったと考えられているが (杉山, 1999)、今回の結果からブナ属やコナラ属などの落葉樹林は比較的早い時期に成立したと推定される。なお、ブナ属やコナラ属は調査区南壁でのみ認められることから、これらの落葉樹林は遺跡南側の谷沿いに分布していた可能性が考えられる。

References

- 杉山真二 (1987) タケア科植物の機動細胞壁珪酸体、富士吉田植物園報告、第31号、p.70-83.
杉山真二・早田他 (1996) 植物珪酸体分析による宮城県高森遺跡とその周辺の古環境推定－中期更新世以降の氷期～間氷期サイクルの検討－、日本第四紀学会講演要旨集、26、p.68-69.
杉山真二 (1999) 植物珪酸体分析からみた九州南部の照葉樹林発達史、第四紀研究、38(2), p.109-123.
杉山真二 (1999) 過去約3万年前におけるササ類の植生変遷と積雪量の変動－植物珪酸体分析からみた過去のミヤコザサ線－、日本植生学会大会発表要旨集、p.29-30.
杉山真二 (2000) 植物珪酸体 (プラント・オパール)、考古学と植物学、同成社、p.189-213.
杉山真二 (2001) 植生と環境、季刊考古学第74号、雄山閣出版、p.14-18.
高瀬成紀 (1992) 北に生きるシカたち、シカ、ササそして雪をめぐる生態学－、どうぶつ社。
烟中健一・野井英明・岩内明子 (1998) 九州地方の植生史、図説日本列島植生史、朝倉書店、p.151-161.
藤原宏志 (1976) プラント・オパール分析法の基礎的研究(II)－数種イネ科栽培植物の珪酸体標本と定量分析法－、考古学と自然科学、9, p.15-29.
室井耕 (1960) 竹林の生態を中心とした分念。富士竹類植物園報告、5, p.103-121.

Tab.1 指宿市水辺通路における植物生體分析結果
The result of phytolith analysis in the Misaako-site

分類群	学名	地点・試料	第2トレント(2号住居跡)																				
			1	2	3	4	5	6	7	8	9	10	11	12	13	14	15	16	17	18	19	20	21
イネ科	Gramineae (Grasses)																						
キビ族型	Panicace type		62	37	22	22	7									7	7						
ススキ属型	Miscanthus type		597	767	451	519	331	53	15		22	21			22		7					7	
ウシクサ族A	Andropogoneae A type		21	7	51	51	41	15			74	91	53	55	110	65	52	7	29	48	21	30	
ウシクサ族B	Andropogoneae B type																7						
Bタイプ	B type																7	7					
タケ亜科	Bambusoideae (Bamboo)																						
ネザサ節型	Pleiodonst sect. Nezasa																7	13					
クマザサ属型	Sasa (except Miyakozasa)																82	91	93	69	73	111	213
ミヤコザサ節型	Sasa sect. Miyakozasa																67	105	152	104	146	91	206
未分類等	Others																15	35	46	69	29	33	81
その他のイネ科	Others																						
表皮毛起源	Husk hair origin																7	7	7	13		7	7
棒状珪穀體	Rod-shaped		111	89	363	556	427	8	15		304	632	583	562	607	483	589	185	228	596	321	209	
未分類等	Others		395	238	876	658	551	23	15	15	445	674	663	576	519	529	589	376	416	569	460	343	
樹木起源	ArboREAL																						
ブナ科(シイ属)	Castanopsis																37	14	20	28	15		
クヌキ科	Laureaceae																30	14	13	14			
その他	Others																15	20	7	7	7		
(海綿骨針)	Sponge																7	7					
植物生體体総数	Total		1193	1139	1563	1807	1357	98	45	22	1091	1698	1664	1484	1550	1344	1744	848	1043	1589	1011	656	15

おもな分類群の推定生産量(単位: kg/v·cm)

スキ属型	Miscanthus type	7.40	9.51	5.59	8.44	4.10	0.65	0.19		0.28	0.26			0.27		0.09		0.09					
ネザサ節型	Pleiodonst sect. Nezasa									0.04				0.06									
クマザサ属型	Sasa (except Miyakozasa)													0.61	0.68	0.70	0.52	0.55	0.83	1.60	0.51	0.86	1.08
ミヤコザサ節型	Sasa sect. Miyakozasa													0.20	0.32	0.46	0.31	0.44	0.27	0.62	0.55	0.53	0.35

タケ面積の比率(%)

ネザサ節型	Pleiodonst sect. Nezasa									100					5							
クマザサ属型	Sasa (except Miyakozasa)										75	68	57	63	56	75	72	48	58	76	65	29
ミヤコザサ節型	Sasa sect. Miyakozasa										25	32	38	38	44	25	28	52	44	24	35	71

検出密度 (単位: ×100個/g)

分類群	学名	地点・試料			炉跡				1号住居				2号住居					
		25	30	32	1	2	3	4	4	5	6	7	4	5	6	7	8	
イネ科	Gramineae (Grasses)																	
イネ	<i>Oryza sativa</i> (domestic rice)																	
キビ族型	Panicace type				6				14		14	14			7	7	7	
ヨシ属	<i>Phragmites</i> (reed)					6	13				14				7	7	7	
スキ属型	<i>Miscanthus</i> type																	
ウシクサ族A	Andropogonace A type					31	27	14	20	43	50	28	14					
ウシクサ族B	Andropogonace B type							7		7					14	14	21	
シバ属	<i>Zoysia</i>								7									
Bタイプ	B type							12	27	14	7				14	7		
タケ画科	Bambusoideae (Bamboo)																	
ネザサ節型	<i>Pleioblastus</i> sect. <i>Neesaa</i>				8	6	7	7	7					7	14	7	14	
クマザサ属型	<i>Sasa</i> (except <i>Miyakounosu</i>)					68	27	35	20	50		14		15	21		7	
ミヤコザサ節型	<i>Sasa</i> sect. <i>Miyakounosu</i>				45	323	340	319	27	418	342	348	262	417	178	309	265	
未分類等	Others				15	12				86	78	77	7	73	43	50	14	
その他のイネ科	Others																	
糞皮毛起源	Husk hair origin					12		14			14		7		7		7	
棒状柱體	Rod-shaped				15	99	67	85	27	439	257	181	128	146	71	122	286	
茎部起源	Stem origin																	
未分類等	Others				8	61	434	367	411	186	547	478	397	347	386	221	345	363
樹木起源	Arboreal																	
ブナ科(シイ属)	<i>Castaneopsis</i>																	
ブナ科(アカガシ属?)	<i>Quercus</i> subgen. <i>Cyclobalanopsis</i> ?																	
クヌキ科	Lauraceae																	
マンサク科(イスノキ属)	<i>Ditrylum</i>																	
多角形板状(コナラ属など)	Polygonal plate shaped (<i>Quercus</i>)																	
その他	Others				8								7					
(海綿骨針)	Sponge				15				7				7				7	
植物珪化体總数	Total	8	0	152	1011	873	908	299	1606	1249	1058	779	1031	562	883	810	1143	

おもな分類群の推定生産量 (単位: kg/m²·cm)

イネ	<i>Oryza sativa</i> (domestic rice)													0.46	0.45		
ヨシ属	<i>Phragmites</i> (reed)																
スキ属型	<i>Miscanthus</i> type																
ネザサ節型	<i>Pleioblastus</i> sect. <i>Neesaa</i>				0.04	0.03	0.03	0.03	0.03	0.03				0.04	0.07	0.03	0.07
クマザサ属型	<i>Sasa</i> (except <i>Miyakounosu</i>)					0.51	0.20	0.27	0.15	0.38		0.10		0.11	0.16	0.05	0.05
ミヤコザサ節型	<i>Sasa</i> sect. <i>Miyakounosu</i>				0.14	0.97	1.02	0.96	0.08	1.25	1.03	1.04	0.79	1.25	0.53	0.93	0.80

タケ画科の比率 (%)

メダケ節型	<i>Pleioblastus</i> sect. <i>Medake</i>													3	9	4	6
ネザサ節型	<i>Pleioblastus</i> sect. <i>Neesaa</i>				21	2	3	3	12	2				8	21	6	5
クマザサ属型	<i>Sasa</i> (except <i>Miyakounosu</i>)					34	16	21	57	23		9		8	21	6	5
ミヤコザサ節型	<i>Sasa</i> sect. <i>Miyakounosu</i>				79	64	81	76	31	75	100	91	100	90	70	96	94

Tab.3 指宿市水泊遺跡における植物珪化体分析結果
The result of phytolith analysis in the Misusako-site

Tab.4 指宿市水辺遊歩における植物群落分析結果
The result of phytolith analysis in the Misakao-site

検出密度 (単位: ×100個/g)		地点・試料	北西端地点												
分類群	学名		1	2	4	5	6	7	8	9	11	12	13	15	17
イネ科	Gramineae (Grasses)														
イネ	<i>Oryza sativa</i> (domestic rice)	7													
キビ族型	Panicace type							7		7	15		7	7	
ヨシ属	<i>Phragmites</i> (reed)														
スキ属型	<i>Miscanthus</i> type	13	1334	508	369	15	65	94	7	7					
ウシクサ族A	<i>Andropogoneae</i> A type	20	44	29	15	23	65	51	36	36	58	80	50	52	15
ウシクサ族B	<i>Andropogoneae</i> B type				15		14	7			7	7			
シバ属	<i>Zoysia</i>														
Bタイプ	B type											7	14	15	8
タケ科	Bambusoideae (Bamboo)														
ネザサ節型	<i>Pleioblastus</i> sect. <i>Neissa</i>														
クマザサ属型	<i>Sasa</i> (except <i>Miyakoassa</i>)							14	29	73	44	36	64		
ミヤコササ節型	<i>Sasa</i> sect. <i>Miyakoassa</i>							166	167	185	305	334	283	368	141 113
未分類等	Others	7						36	51	7	87	58	94	78	30 8
その他のイネ科	Others														
表皮毛起源	Husk hair origin		15					22	7	7	7		7	15	
神状硅酸体	Rod-shaped	27	364	250	203	8	252	391	86	356	385	407	354	112	23
茎部起源	Stem origin			7											
未分類等	Others	148	401	265	233	45	360	543	314	465	523	502	523	335	113
樹木起源	ArboREAL														
ブナ科(シイ属)	<i>Castanopsis</i>	7						22	22	7					
ブナ科(アカガシ亜属?)	<i>Quercus</i> subgen. <i>Cyclobalanopsis</i> ?	13						14	14						
クスノキ科	<i>Lauraceae</i>	20						50	36	14					
マンサク科(イスノキ属)	<i>Dipteris</i>							7	7						
多角形板状(コナラ属など)	Polygonal plate shaped (<i>Quercus</i>)							7							
その他	Others	34						22	14	14					
(海綿材付)	Sponge														
植物珪酸体總数	Total	296	2172	1060	820	90	1094	1455	677	1345	1446	1417	1471	707	280
おもな分類群の推定生産量 (単位: kg/m ² ·cm)															
イネ	<i>Oryza sativa</i> (domestic rice)	0.20													
ヨシ属	<i>Phragmites</i> (reed)														
スキ属型	<i>Miscanthus</i> type	0.17	16.54	6.30	4.57	0.19	0.80	1.17	0.09	0.09					
ネザサ節型	<i>Pleioblastus</i> sect. <i>Neissa</i>														
クマザサ属型	<i>Sasa</i> (except <i>Miyakoassa</i>)														
ミヤコササ節型	<i>Sasa</i> sect. <i>Miyakoassa</i>							0.11	0.22	0.55	0.33	0.27	0.48		
								0.50	0.50	0.56	0.92	1.00	0.85	1.10	0.42 0.34
タケ科の比率 (%)															
メダケ節型	<i>Pleioblastus</i> sect. <i>Medake</i>														
ネザサ節型	<i>Pleioblastus</i> sect. <i>Neissa</i>														
クマザサ節型	<i>Sasa</i> (except <i>Miyakoassa</i>)														
ミヤコササ節型	<i>Sasa</i> sect. <i>Miyakoassa</i>														
								18	30	37	23	24	30		
								82	70	100	63	70	76	70	100

Fig.1 指宿市水泊跡第I調査区南壁(基本土層)における植物珪酸体分析結果

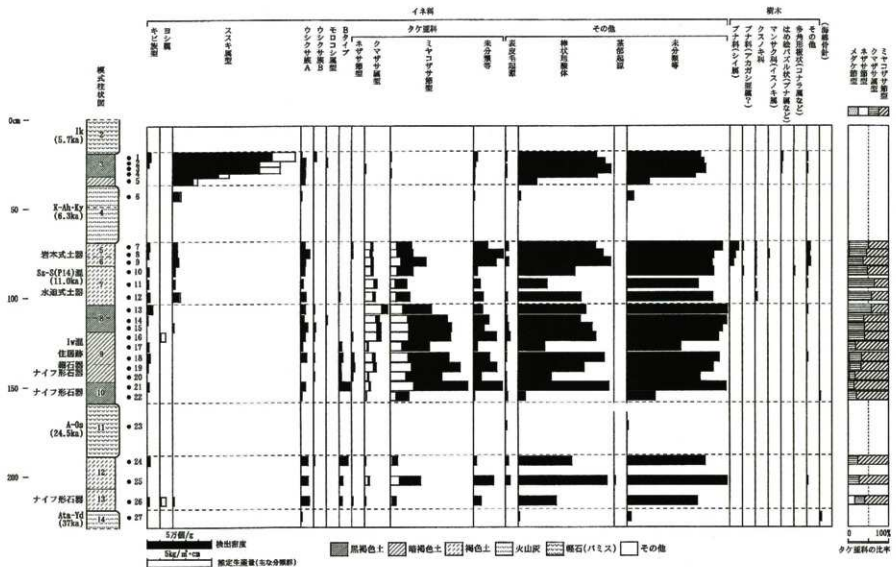


Fig.2 指宿市水道道路第1調査区北西端地点における植物生残体分析結果

The result of phytolith analysis at the northwest corner in the Misakutsu-site

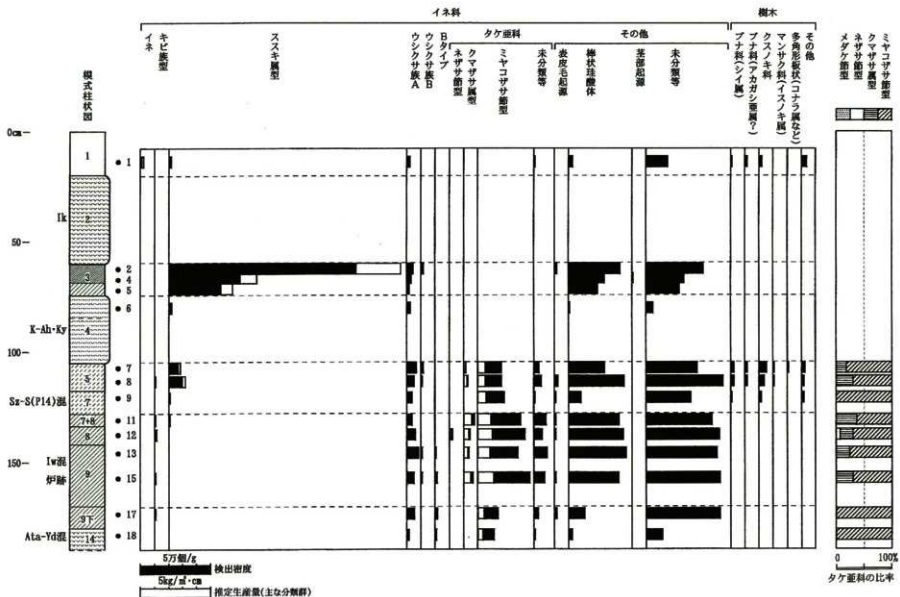
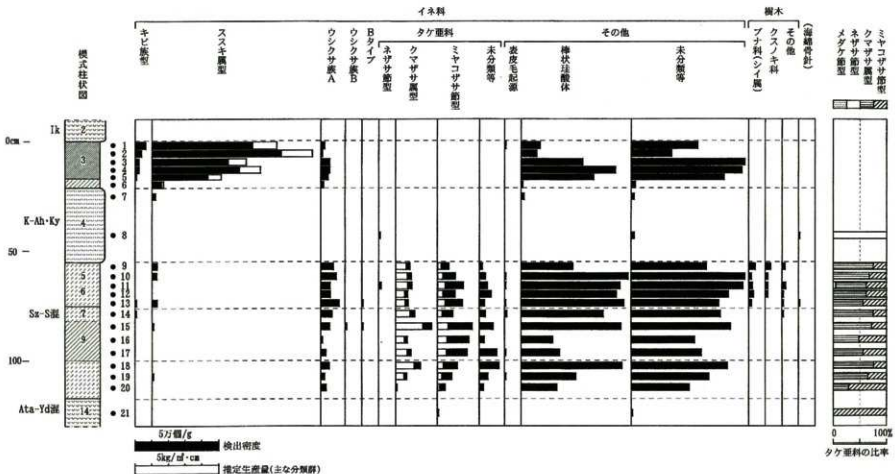


Fig.3 指宿市水道路第1調査区北壁における植物珪酸体分析結果
The result of phytolith analysis at north wall in the Misusako-site



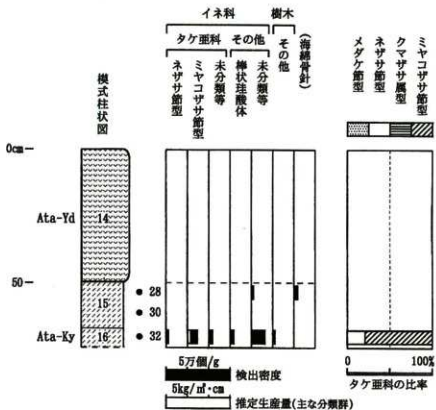


Fig.4 第1調査区先行トレンチ(おとし穴横)における植物珪酸体分析結果
The result of phytolith analysis at the 1 point test trench in the Misusako-site

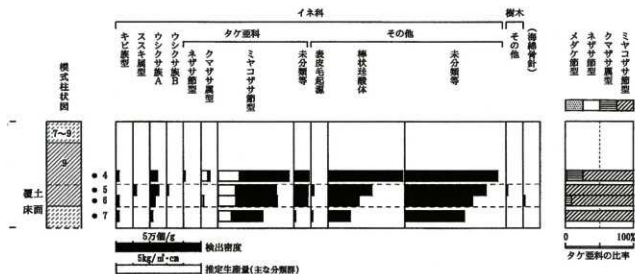


Fig.5 水追遺跡第Ⅰ調査区1号住居跡における植物珪酸体分析結果
The result of phytolith analysis at the dwelling No.1 pit in the Misusako-site

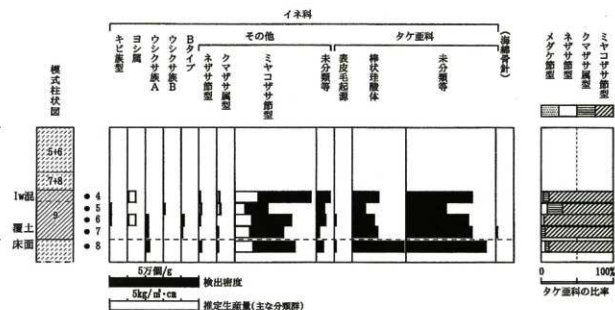
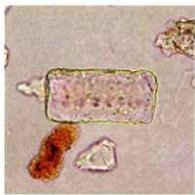


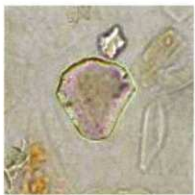
Fig.6 水追遺跡第1調査区2号住居跡における植物硅酸体分析結果
The result of phytolith analysis at the dwelling pit No.2 in the Misusako-site



Fig.7 水道遺跡第I調査区の炉跡(第9層中)における植物珪酸体分析結果
The result of phytolith analysis at the fire-pit No.1 in the Misusako-site



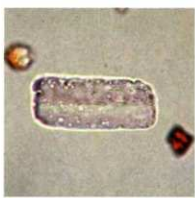
キビ族型 /Paniceae type
南壁基本土層 7



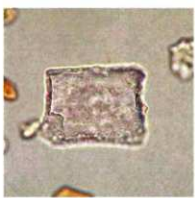
スキ属型 /Miscanthus type
南壁基本土層 1



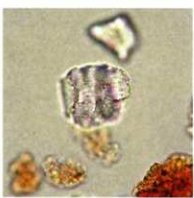
スキ属型 /Miscanthus type
南壁基本土層 1



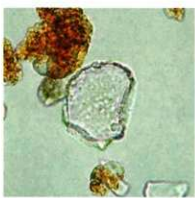
イネ科 B タイプ /Gramineae B type
南壁基本土層 2 4



イネ科 (不明) /Gramineae
南壁基本土層 2 4



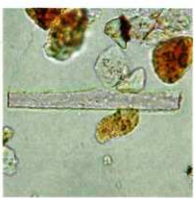
ネザサ節型 /Pleiochusoideae sect.
Nezasa 南壁基本土層 8



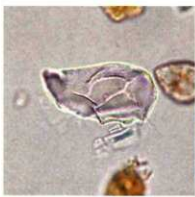
クマザサ節型 /Sasa (except
Miyakozasa) 南壁基本土層 1 4



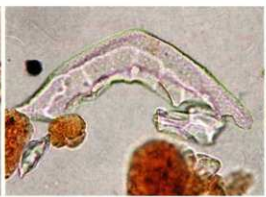
ミヤコザサ節型 /Sasa sect.
Miyakozasa) 南壁基本土層 7



棒状硅酸体 /Rod-shaped
南壁基本土層 1 4



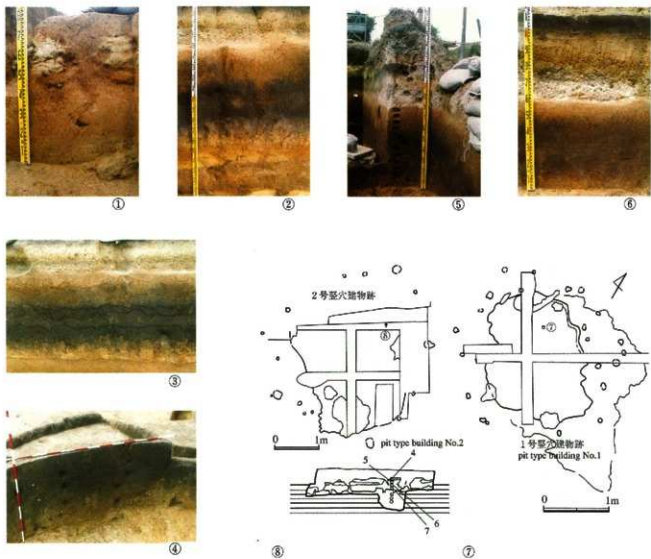
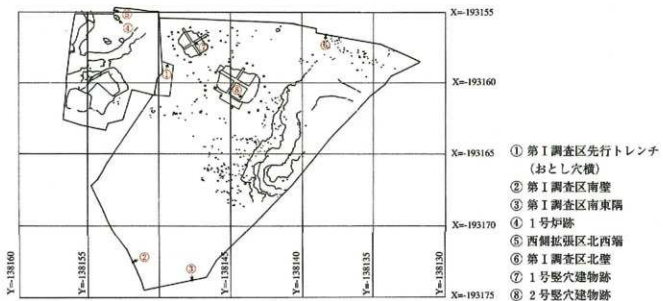
ブナ科 (シイ属) /Castamopsis
南壁基本土層 7



クスノキ科 /Lauraceae
南壁基本土層 7



アカガシ亜属 /Cyclobalanopsis
南壁基本土層 7



報告書抄録

ふりがな	みずきこいせき
書名	水道遺跡
副書名	
卷次	I
シリーズ名	指宿市埋蔵文化財発掘調査報告書
シリーズ番号	第34集
編著者名	下山 覚 中摩 浩太郎 渡部 健也 錦田 洋昭
編集機関	鹿児島県指宿市教育委員会（指宿市考古博物館 時遊館COCICOはしむれ）
所在地	〒891-0403 鹿児島県指宿市十二町 2290 0993-23-5100
発行年月日	平成13年3月31日

ふりがな 所収遺跡名	ふりがな 所在地	コード		北緯	東経	調査期間	調査面積	調査原因
		市町村	遺跡番号					
水道遺跡	指宿市西方水道	46210	2-58	31° 15' 4342	130° 35' 9343	2000.7.1 ~ 2001.3.31	128 m ² 40 m ² 1トレンチ: 80 m ² 2トレンチ: 8 m ²	平成11年度に神 西側試掘区 認された後期旧 石器時代の集落 の広がりと内容 確認のため

所収遺跡名	種別	主な時代	主な造構	主な遺物	特記事項
水道遺跡	縄文時代早期	集石、舟形配石炉、配石	岩本式土器、磨石、石斧		
西側試掘区	縄文時代草創期	集石、土坑、ピット	隆脛文土器、水道式土器、石鏃		
	後期旧石器時代	竪穴建物跡 5基、道路	野岳、休場型細石刃核、細石刃、		
	(細石刃文化～ナイフ形石器文化後半)	2条、歩道 2基、土坑	ナイフ形石器、台形石器、楔形石		
		2基、ピット 23基、	器、ハンマー		
	後期旧石器時代	未検出	ナイフ形石器、槍先形尖頭器		
	(ナイフ形石器文化)		三種尖頭器		
第1トレンチ	縄文時代早期	未検出	岩本式土器	後期旧石器時代の集	
	縄文時代草創期	未検出	水道式土器	落の北側は、傾斜面	
	後期旧石器時代	未検出	細石刃核、細石刃、ナイフ形石器	であり、当該期の遺構は未検出。	
第2トレンチ	弥生時代中期	未検出	山之口式土器、入来式土器 打製石鏃、磨石		

水迫遺跡 I

Report of The Mizusako Archaeological Site Vol.1

2001年3月
2001 March

発行

指宿市教育委員会

The Ibusuki City Board of Education

鹿児島県指宿市十二町2290
Junicho2290 Ibusuki-city, Kagoshima Pref. Japan
TEL 0993-23-51000

印刷所

有限会社 イースト朝日

East Asahi Corp.

鹿児島市谷山中央6-32-5
Taniyamachuo6-32-5 Kagoshima-city, Kagoshima Pref. Japan
TEL 099-266-5522

